



ФГБУ «Арктический и антарктический научно-исследовательский институт»

МЦД МЛ

Информационные материалы по мониторингу морского ледяного покрова
Арктики и Южного Океана на основе данных ледового картирования и
пассивного микроволнового зондирования SSMR-SSM/I-SSMIS-AMSR₂

10.06.2024 – 19.06.2024

№ 25(663)

Санкт-Петербург 2024

тел. +7(812)337-3149, эл. почта: yms@aari.aq

Адрес в сети Интернет: <http://wdc.aari.ru/datasets/do042/>

Содержание

Северное Полушарие	4
Рисунок 1а – Ледовая карта СЛО и повторяемость кромки за текущую неделю (цветовая окраска по общей сплоченности)
Рисунок 1б – Ледовая карта СЛО и повторяемость кромки за текущую неделю (цветовая окраска по преобладающему возрасту)
Рисунок 1в – Положение кромки льда и зон разреженных и сплоченных льдов СЛО за последний доступный срок на основе ледового анализа НЛЦ США	7
Рисунок 2а – Обзорная ледовая карта СЛО за текущую неделю и аналогичные периоды 2007-2019.9	9
Рисунок 2б – Поля распределения средневзвешенной толщины льда совместной модели морского льда – океана HYCOM/CICE Датского метеорологического института	10
Рисунок 2в – Поля распределения средней за 36-часовые промежутки температуры поверхности морского льда и океана Датского метеорологического института	11
Рисунок 2г – Поле дрейфа морского льда Арктики по расчетам МЦД МЛ ААНИИ, источник данных EUMETSAT OSISAF, AMSR-2	12
Рисунок 2д – Ежедневные оценки сезонного хода объема морского льда СЛО на основе расчетов средневзвешенной толщины льда совместной модели морского льда – океана HYCOM/CICE Датского метеорологического института	13
Рисунок 2е – Аномалии приземной температуры воздуха (2м) и осредненные вектора скорости ветра (10 м)	14
Таблица 1 – Динамика изменения значений ледовитости для акваторий Северной полярной области за текущую неделю по данным наблюдений SSMR-SSM/I-SSMIS	16
Таблица 2 – Медианные значения ледовитости для Северной полярной области и 3-х меридиональных секторов за текущие 30 и 7-дневные интервалы и её аномалии от 2011-2016 гг. и интервалов 2006-2017 гг. и 1978-2017 гг. по данным наблюдений SSMR-SSM/I-SSMIS	16
Таблица 3 – Экстремальные и средние значения ледовитости для Северной полярной области и 3 меридиональных секторов за текущий 7-дневный интервал по данным наблюдений SSMR-SSM/I-SSMIS, алгоритм NASATEAM	16
Рисунок 3а – Ежедневные оценки сезонного хода ледовитости для Северной Полярной Области и её трех меридиональных секторов за период с 26.10.1978 по текущий момент времени по годам	19
Рисунок 3б – Ежедневные оценки сезонных изменений ледовитости для Северной Полярной Области с 26.10.1978 по текущий момент времени	20
Рисунок 4 – Медианные распределения сплоченности льда за текущие 7 дневные промежутки (слева) и её разности относительно медианного распределения за те же промежутки за периоды 1979-2020 (центр) и 2009-2020 гг. (справа) на основе расчетов по данным SSMR-SSM/I-SSMIS, алгоритмы NASATEAM	20
Южный океан	21
Рисунок 5 а,б – Ледовая карта Южного Океана за последний доступный срок (окраска по общей сплоченности и преобладающему возрасту)	19,22
Рисунок 5в – Положение кромки льда и зон разреженных и сплоченных льдов Южного Океана за последний доступный срок на основе ледового анализа НЛЦ США	23
Рисунок 5д – Анализ ААНИИ крупных айсбергов Южного океана	23
Таблица 4 – Параметры крупных айсбергов Южного океана на основе анализа ААНИИ	23
Рисунок 7а – Ежедневные оценки сезонного хода ледовитости Южного Океана и его трёх меридиональных секторов за период с 26.10.1978 по текущий момент времени по годам	25
Рисунок 7б – Ежедневные оценки сезонного хода ледовитости Южного Океана и его трёх меридиональных секторов за период с 26.10.1978 по текущий момент времени	26
Рисунок 8 – Медианные распределения общей сплоченности льда за текущие 7 дневные промежутки (слева) и её разности относительно медианного распределения за тот же промежуток за периоды 1979-2020 (центр) и 2009-2020 гг. (справа) на основе расчетов по данным SSMR-SSM/I-SSMIS, алгоритм NASATEAM	26
Таблица 5 – Динамика изменения значений ледовитости для акваторий Южного океана за текущий 7-дневный интервал по данным наблюдений SSMR-SSM/I-SSMIS	27
Таблица 6 – Медианные значения ледовитости для Южного океана и 3 меридиональных секторов за текущие 30 и 7-дневные интервалы и её аномалии от 2011-2016 гг. и интервалов 2007-2017 гг. и 1978-2017 гг. по данным наблюдений SSMR-SSM/I-SSMIS, алгоритм NASATEAM	27
Таблица 7 – Экстремальные и средние значения ледовитости для Южного океана и 3 меридиональных секторов за текущий 7-дневный интервал по данным наблюдений SSMR-SSM/I-SSMIS, алгоритм NASATEAM	27

Земля в целом

Рисунок 9 – Ежедневные сглаженные окном 365 суток значения ледовитости Арктики, Антарктики и Земли в целом с 26.10.1978 на основе SSMR-SSM/I-SSMIS	28
Рисунок 10 – Ежедневные сглаженные окном 365 суток значения приведенной ледовитости Арктики, Антарктики и Земли в целом с 26.10.1978 на основе SSMR-SSM/I-SSMIS	29
Рисунок 11 – Ежедневные сглаженные окном 365 суток значения общей сплоченности Арктики и Антарктики с 26.10.1978 на основе SSMR-SSM/I-SSMIS	30
Приложение 1 – Статистические значения ледовитостей по отдельным акваториям Северной Полярной Области и Южного океана	32
Таблица 8 – Средние, аномалии среднего и экстремальные значения ледовитостей для Северной полярной области и её отдельных акваторий за текущие 7-дневный (неделя) и 30-дневный промежутки времени по данным наблюдений SSMR-SSM/I-SSMIS, алгоритм NASATEAM за период 1978-2017 гг.....	32
Таблица 9 – Средние, аномалии среднего и экстремальные значения ледовитостей для Южного океана и его отдельных акваторий за текущие 7-дневный и 30-дневный промежутки времени по данным наблюдений SSMR-SSM/I-SSMIS, алгоритм NASATEAM за период 1978-2017	32
Таблица 10 – Динамика изменения значений ледовитости по сравнению с предыдущей неделей для морей Северной полярной области и Южного океана за текущий 7-дневный (неделя) промежуток времени по данным наблюдений SSMIS	Ошибка! Закладка не определена.
Характеристика исходного материала и методика расчетов	32
Список источников	42

Северное Полушарие

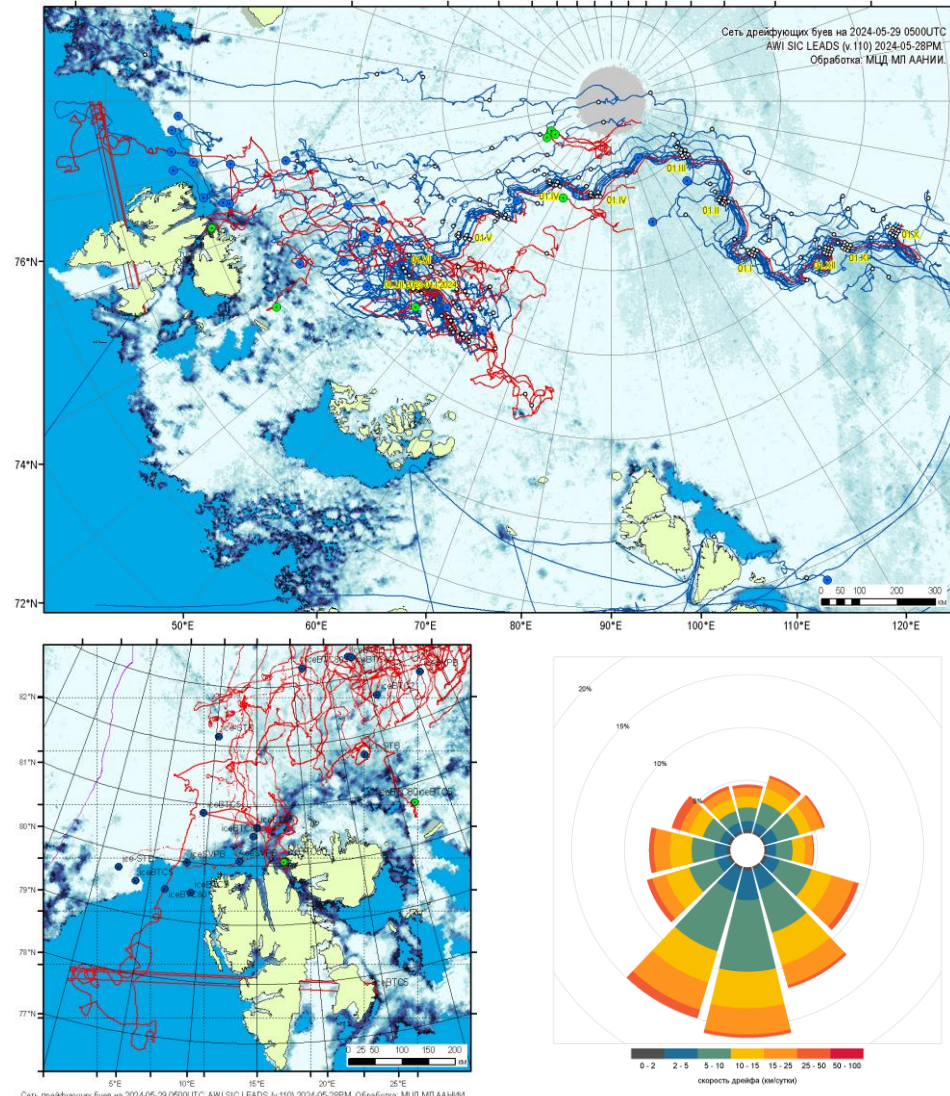
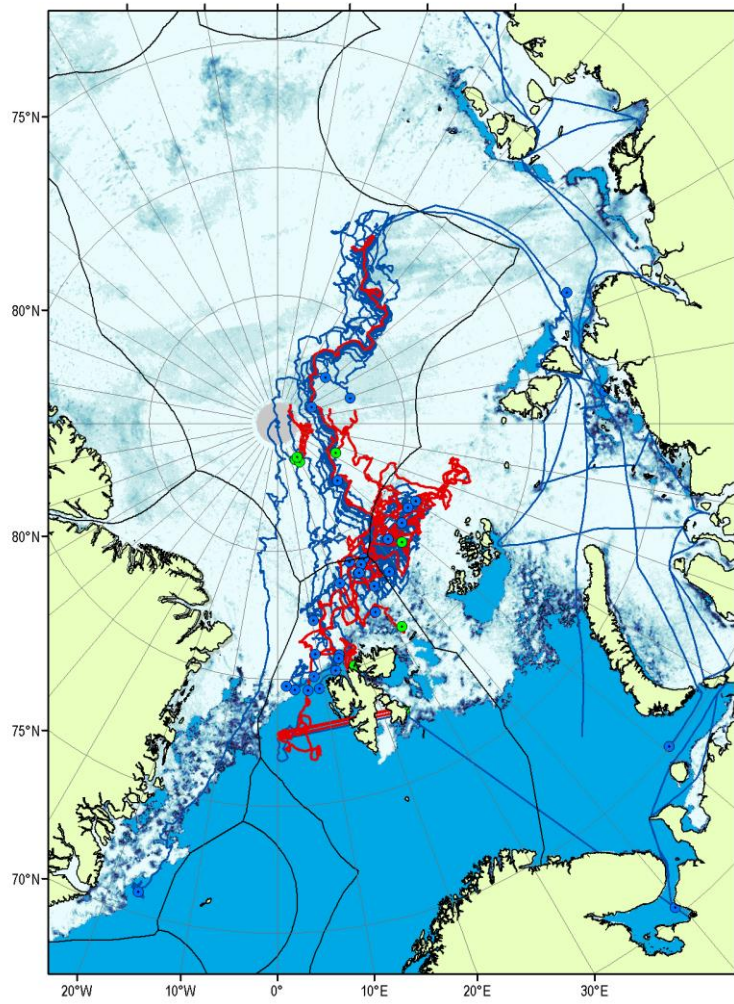


Рисунок 1а – Трек дрейфа ГСН и РСД дрейфующей станции «Северный Поляс-41» на 29.05.2024, совмещенные с положением разрежений на основе данных ИСЗ AMSR2 за 28.05.2024 (Leads AWI, v110) и S1A. Красным/зеленым цветом выделены активные буи, синим неактивные буи. Диаграмма скоростей и направлений дрейфа за неделю дана в полярной проекции с осевым меридианом 0°

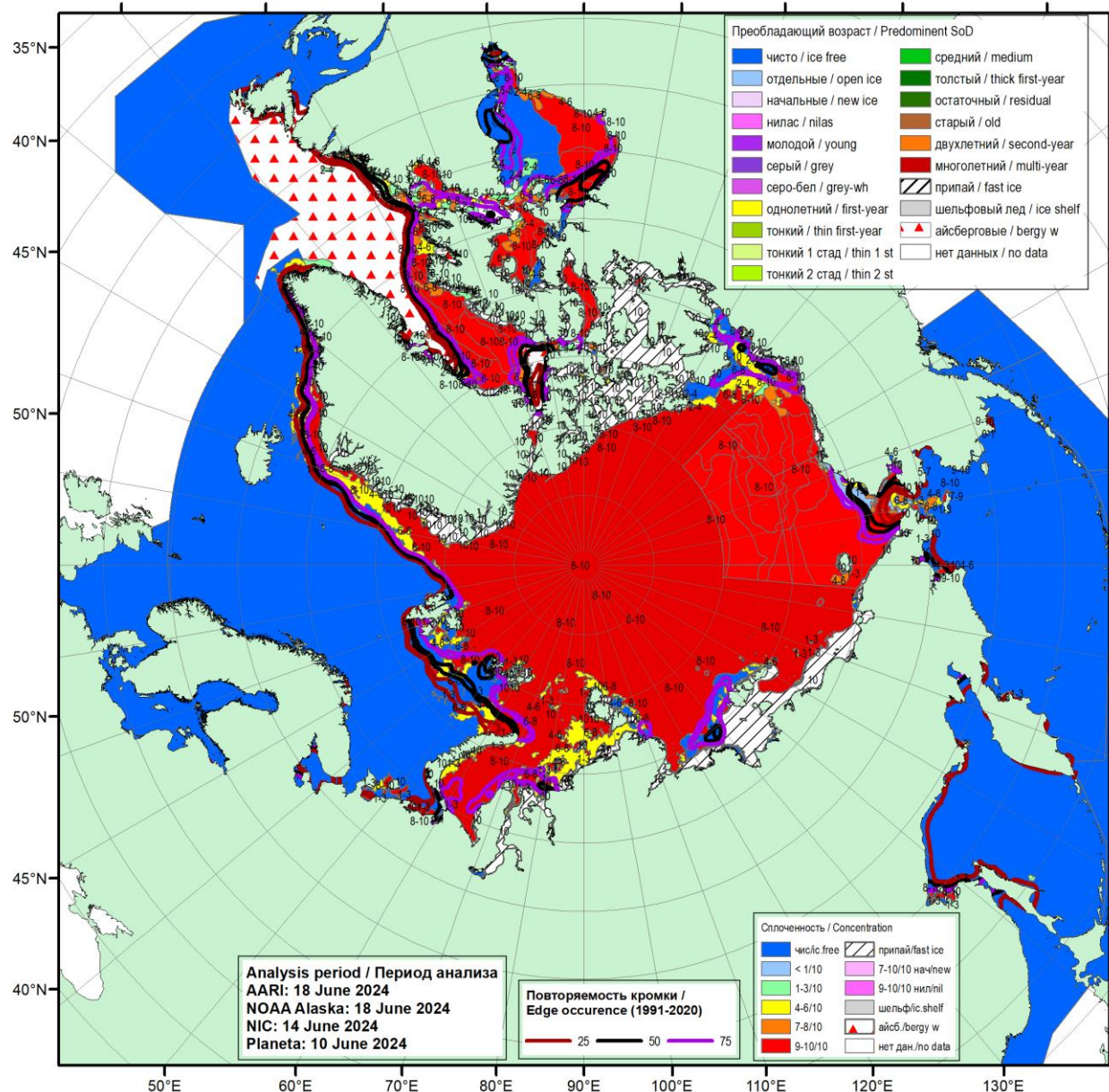


Рисунок 16 – Обзорная ледовая карта СЛО за 10.06 - 18.06.2024 г. (цветовая раскраска по общей сплошности) на основе ледового анализа ААНИИ (18.06), NOAA Аляска (18.06), НИЦ Планета (10.06), Национального ледового центра США (14.06) и повторяемость кромки за 16-20.06 за период 1991-2020гг. по наблюдениям SSMR-SSM/I-SSMIS (алгоритм NASATEAM).

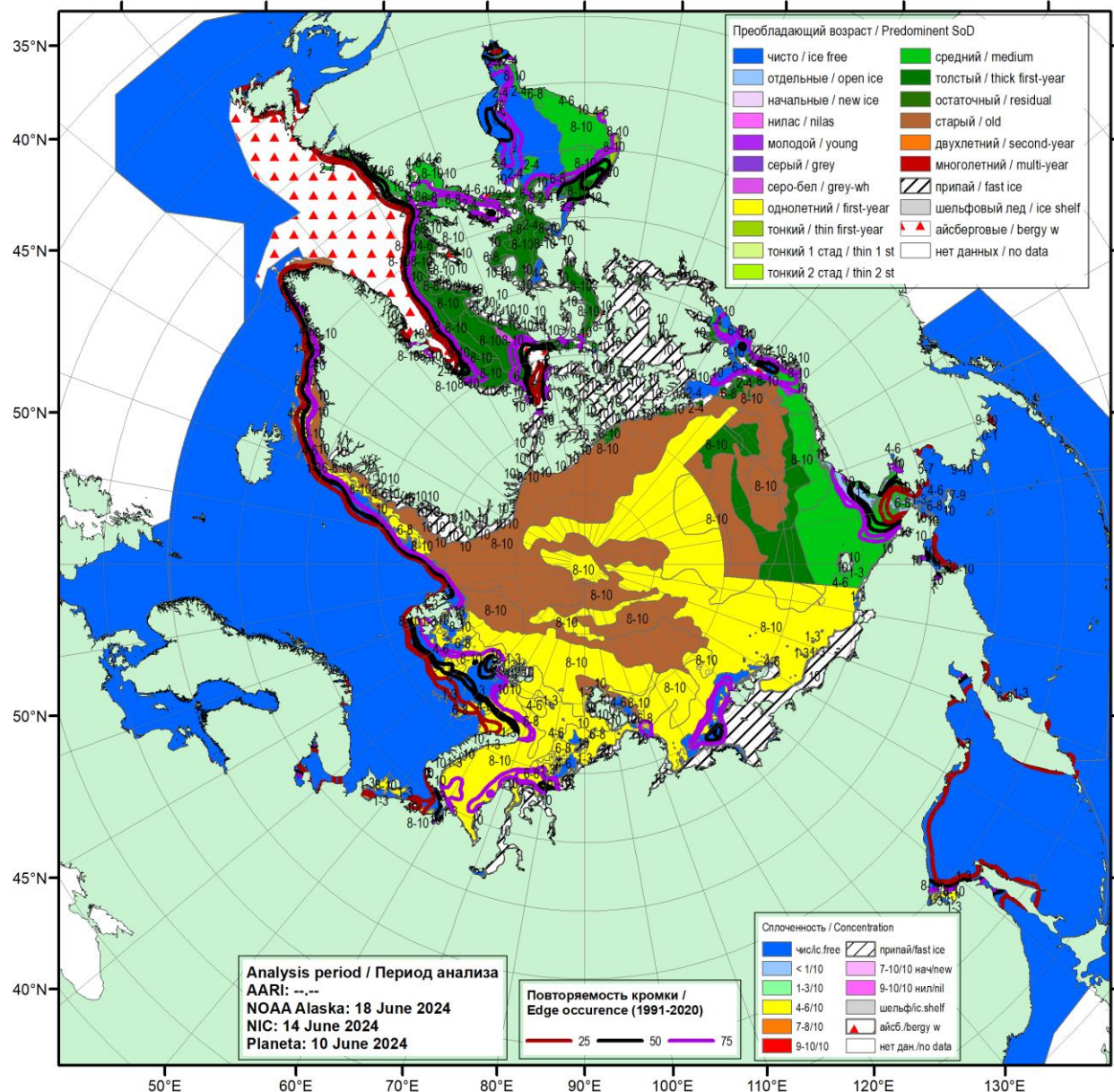


Рисунок 16 – Обзорная ледовая карта СЛО за 10.06 - 18.06.2024 г. (цветовая раскраска по преобладающему возрасту) на основе ледового анализа ААНИИ (-.-), NOAA Аляска (18.06), НИЦ Планета (10.06), Национального ледового центра США (14.06) и повторяемость кромки за 16-20.06 за период 1991-2020гг. по наблюдениям SSMR-SSM/I-SSMIS (алгоритм NASATEAM).

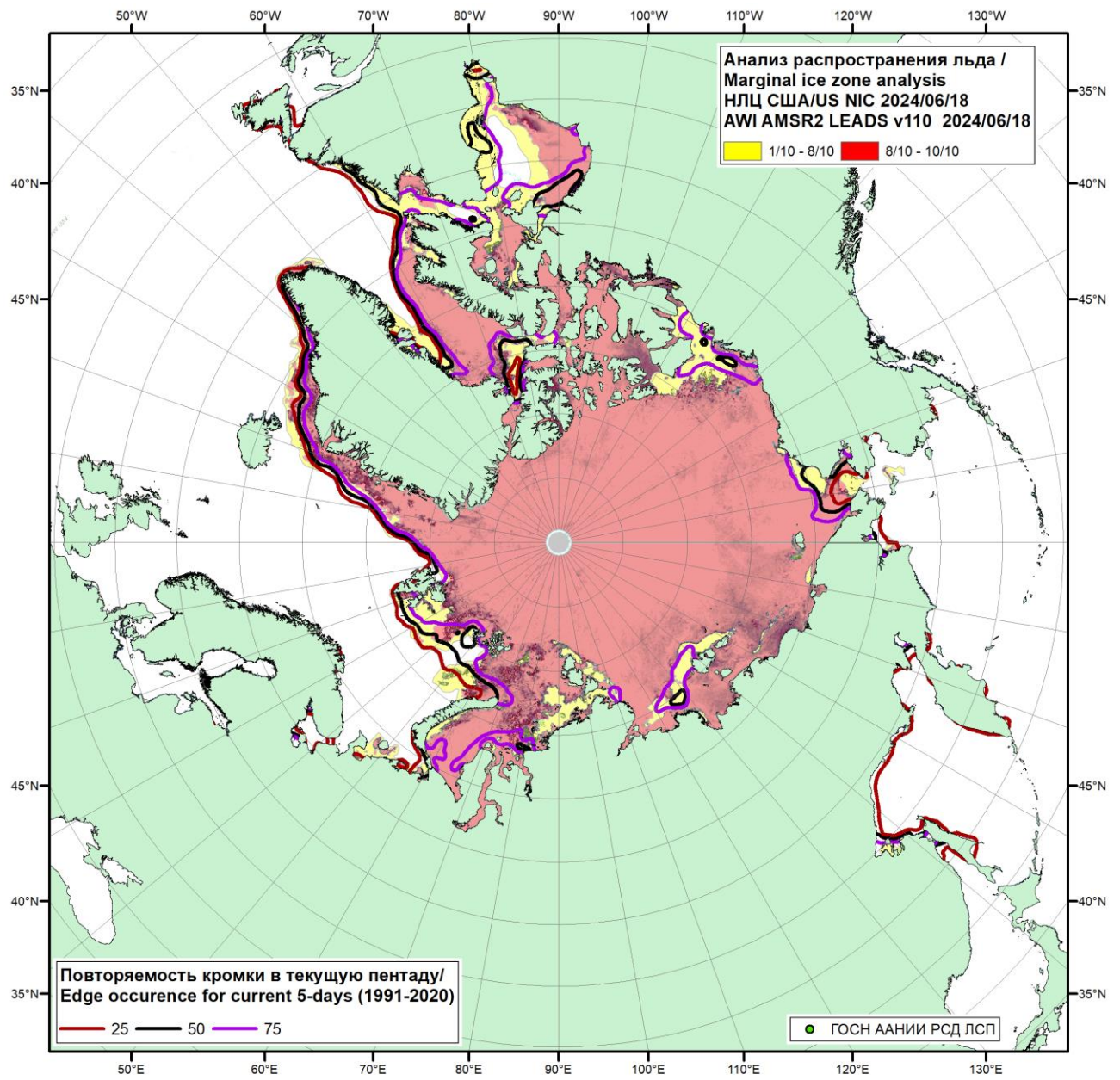


Рисунок 1г – Положение кромки льда и зон разреженных ($<8/10$) и сплоченных ($\geq8/10$) льдов СЛО за 18.06.2024 г. на основе ледового анализа Национального Ледового Центра США и повторяемость кромки за 16-20.06 за период 1991-2020 гг. по наблюдениям SSMR-SSM/I-SSMIS (алгоритм NASATEAM), совмещенное с положением разрежений на основе данных ИСЗ AMSR2 18.06.2024 (AWI, v110).

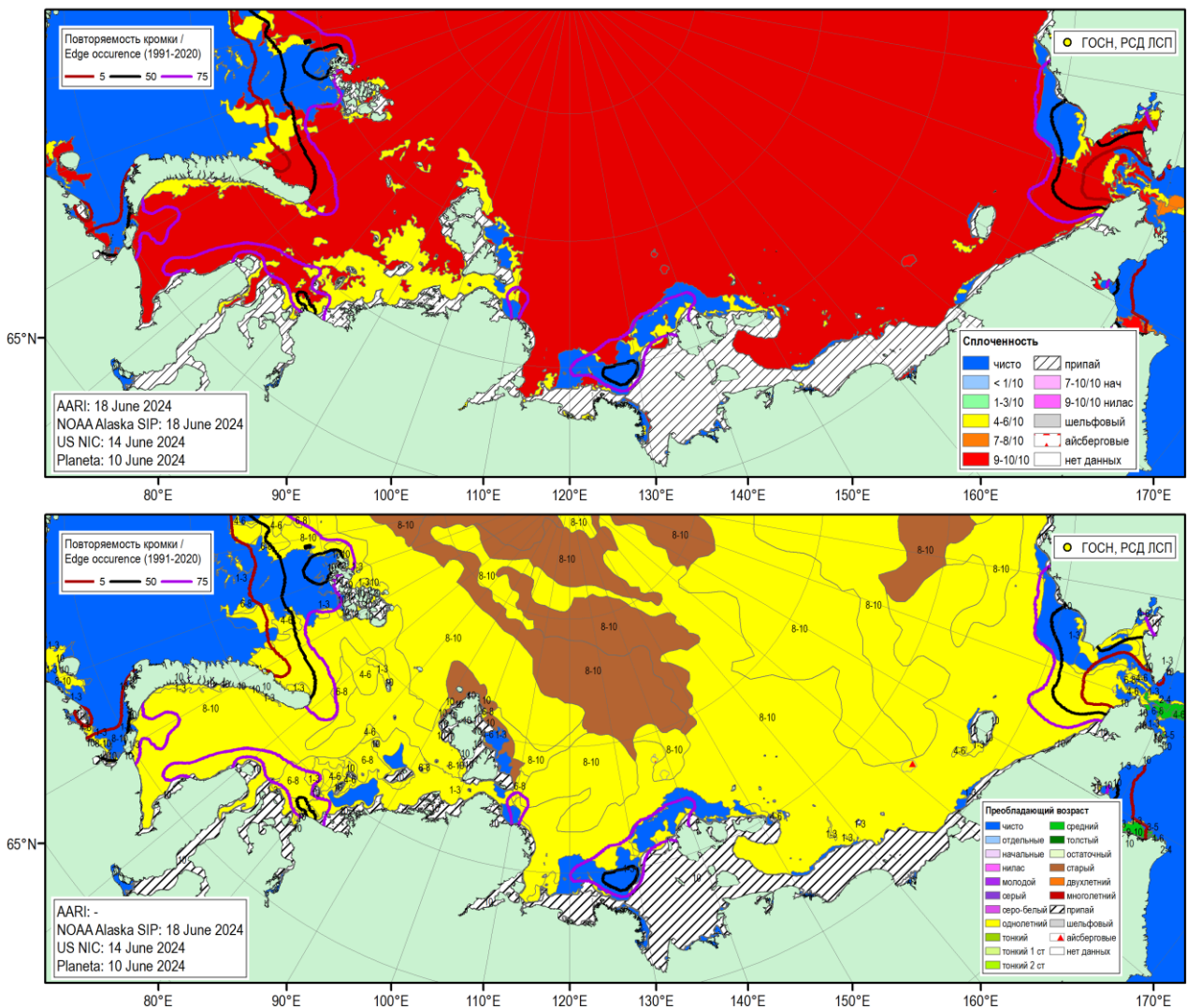


Рисунок 1д – Обзорная ледовая карта СМП за 10.06 - 18.06.2024 г. (цветовая раскраска по общей сплощенности – верх, по преобладающему возрасту - низ) на основе ледового анализа ААНИИ (18.06), НОАА Аляска (18.06), НИЦ Планета (10.06), Национального ледового центра США (14.06) и повторяемость кромки за 16-20.06 за период 1991-2020гг. по наблюдениям SSMR-SSM/I-SSMIS (алгоритм NASATEAM).

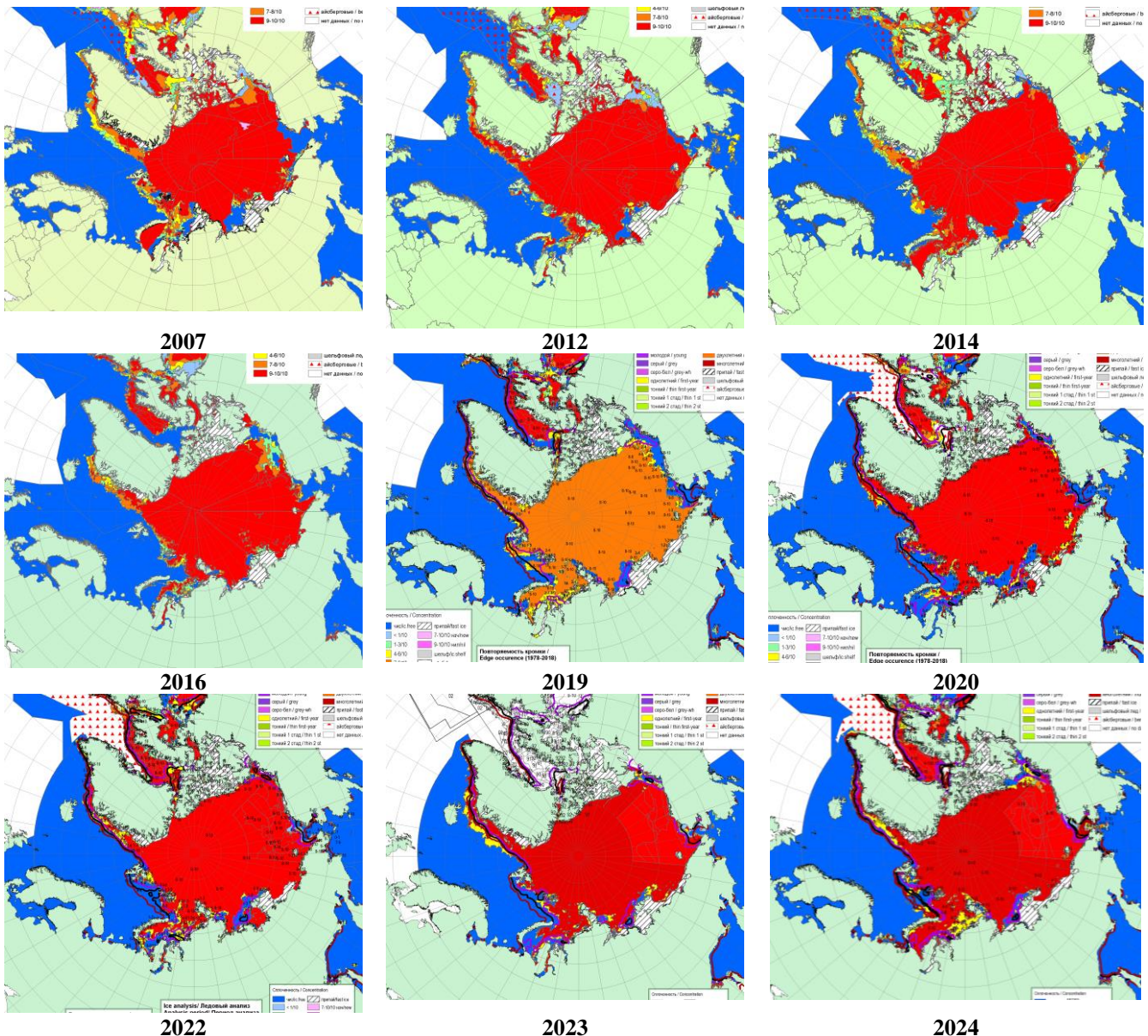


Рисунок 2а – Ледовые условия за 10.06-18.06.2024г. и аналогичные периоды 2007-2023 гг. на основе ледового анализа ААНИИ, НИЦ Планета, Канадской ледовой службы и Национального ледового центра США.

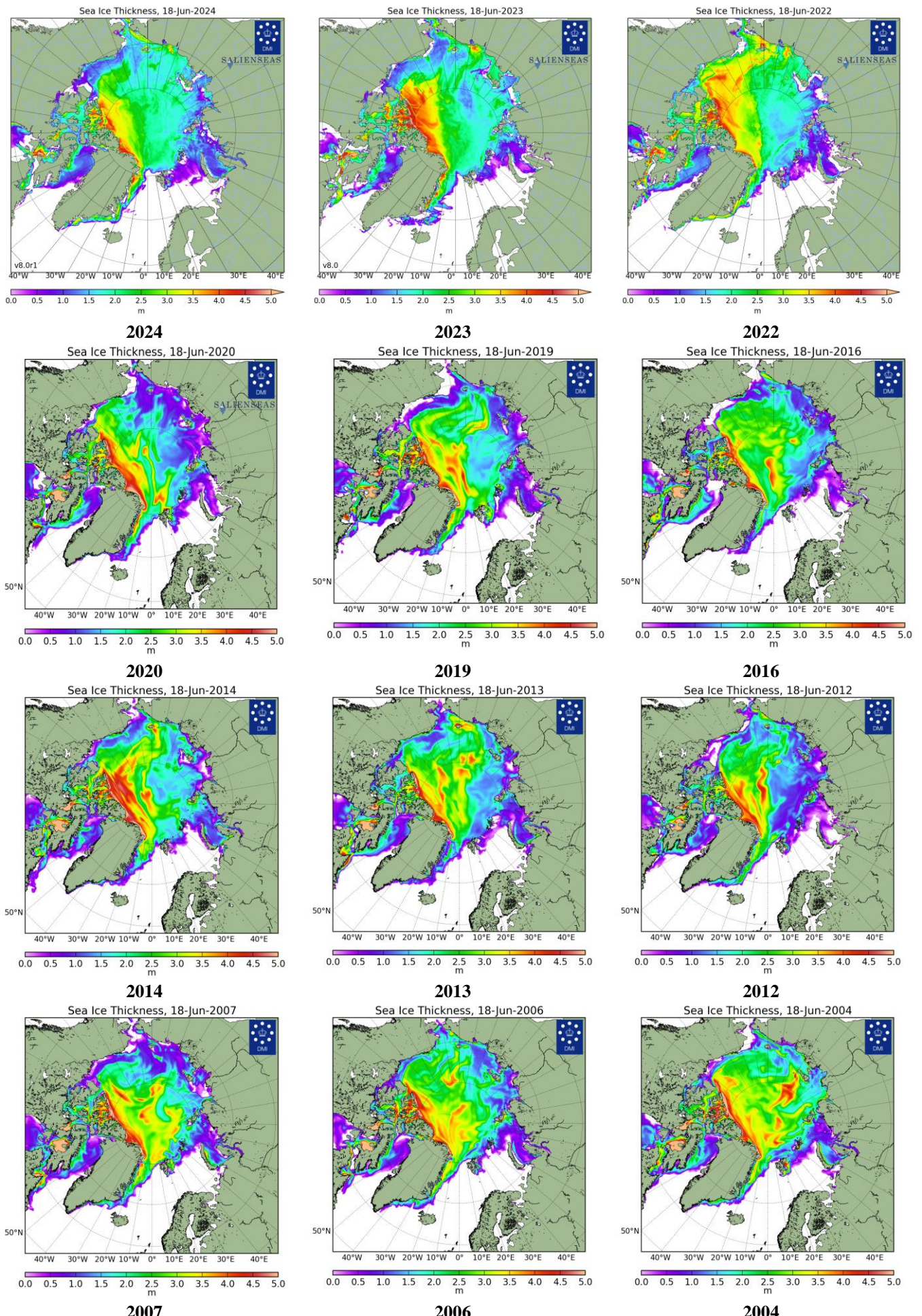


Рисунок 26 – Поля распределения средневзвешенной толщины льда совместной модели морского льда – океана HYCOM/CICE Датского метеорологического института 18.06 за 2004-2024 гг.

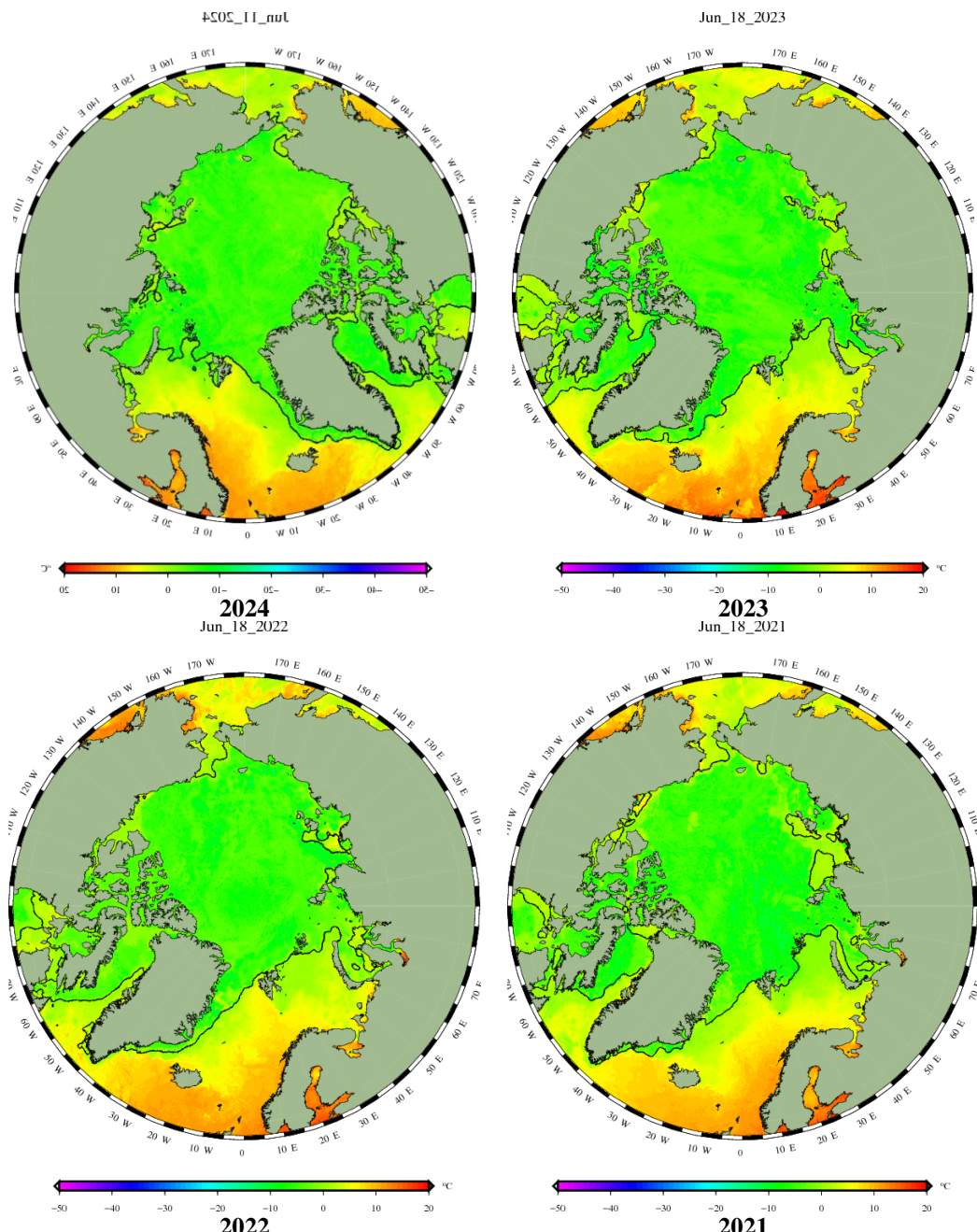


Рисунок 2в – Поля распределения средней за 36-часовые промежутки температуры поверхности морского льда и океана Датского метеорологического института на основе статистической обработки ИК-каналов AVHRR ИСЗ MetOp-A за 16.06-18.06 2021-2024 гг. (<http://polarportal.dk/en/sea-ice-and-icebergs/sea-ice-temperature/#c8099>)

Ice drift speed for 20240611T1200-20240618T1200

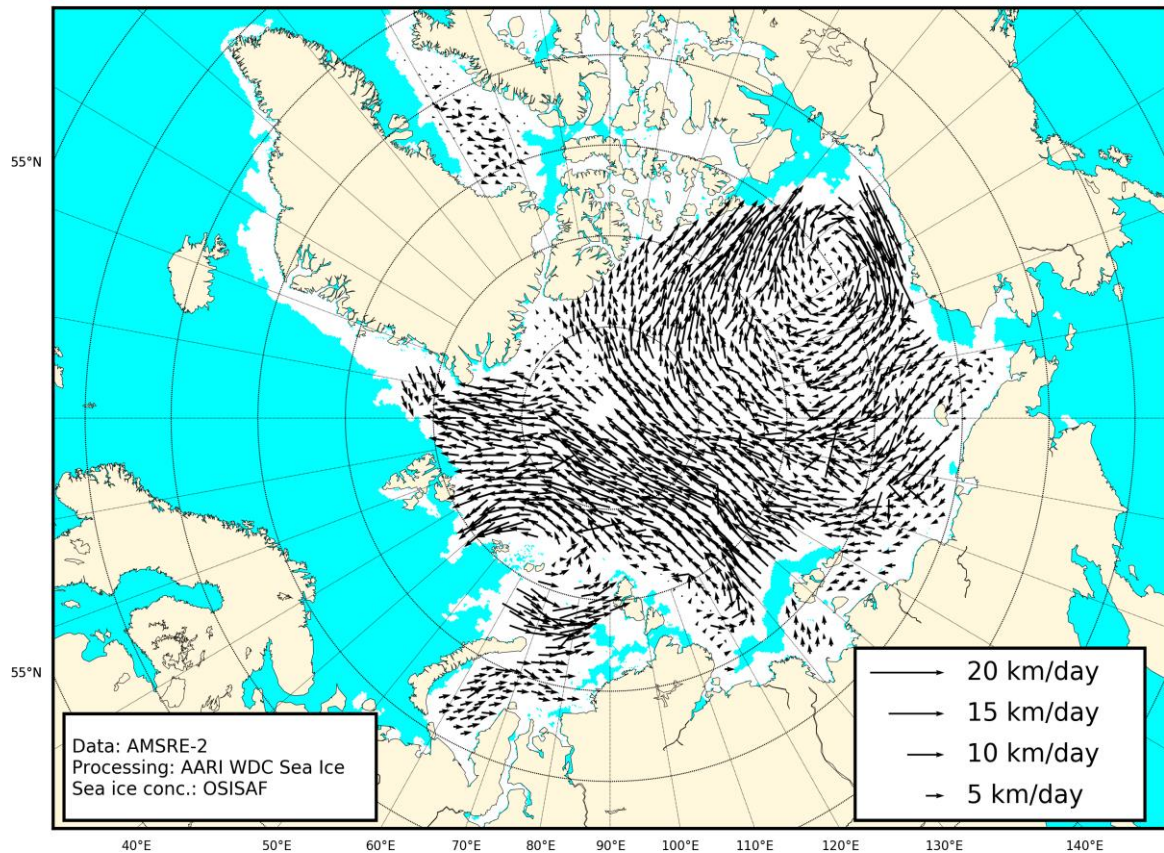


Рисунок 2г – Поле дрейфа морского льда Арктики за последнюю неделю, источник OSI SAF EUMETSAT.

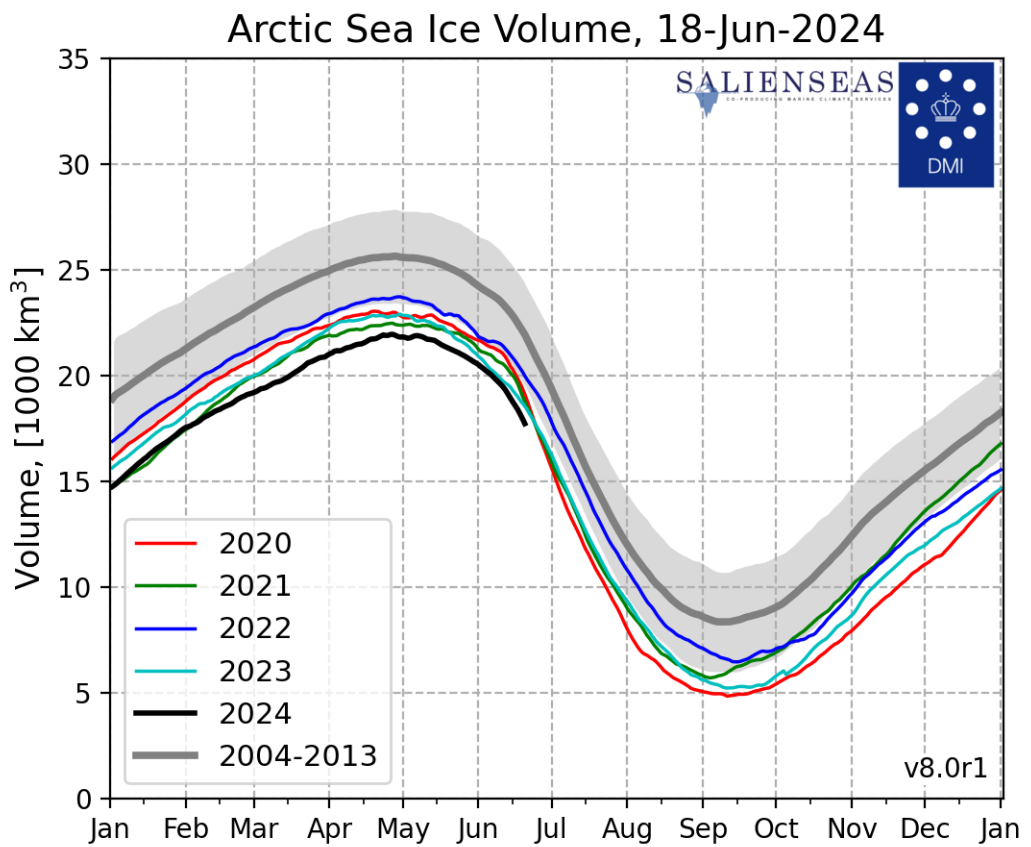
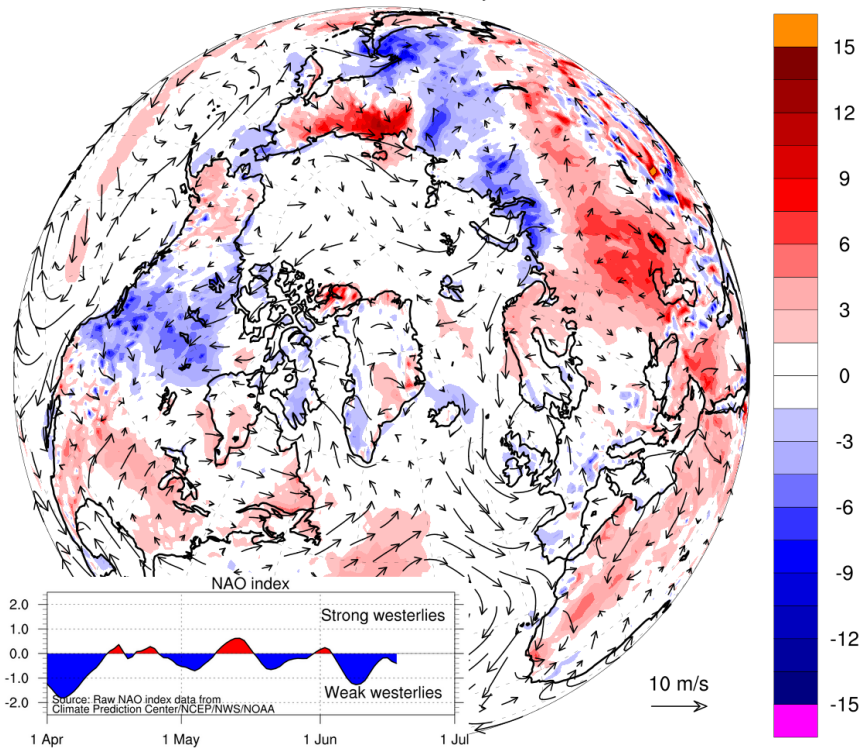


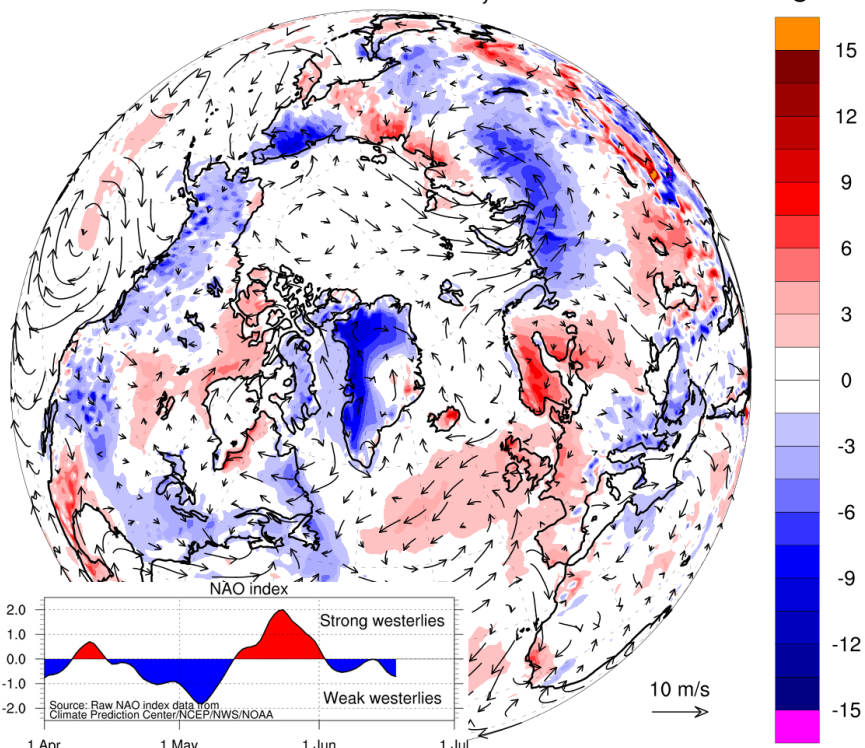
Рисунок 2д – Ежедневные оценки сезонного хода объема морского льда СЛО на основе расчетов средневзвешенной толщины льда совместной модели морского льда – океана HYCOM/CICE Датского метеорологического института с 28.02.2004 по 18.06.2024 гг.

Jun 14 to Jun 18, 2024



polarportal.dk

Jun 14 to Jun 18, 2023



polarportal.dk

Рисунок 2е – Аномалии приземной температуры воздуха (2м) и осредненные вектора скорости ветра (10 м) за 14.06 - 18.06 в 2023-2024 гг. относительно периода 2004-2013 гг. (<http://polarportal.dk>)

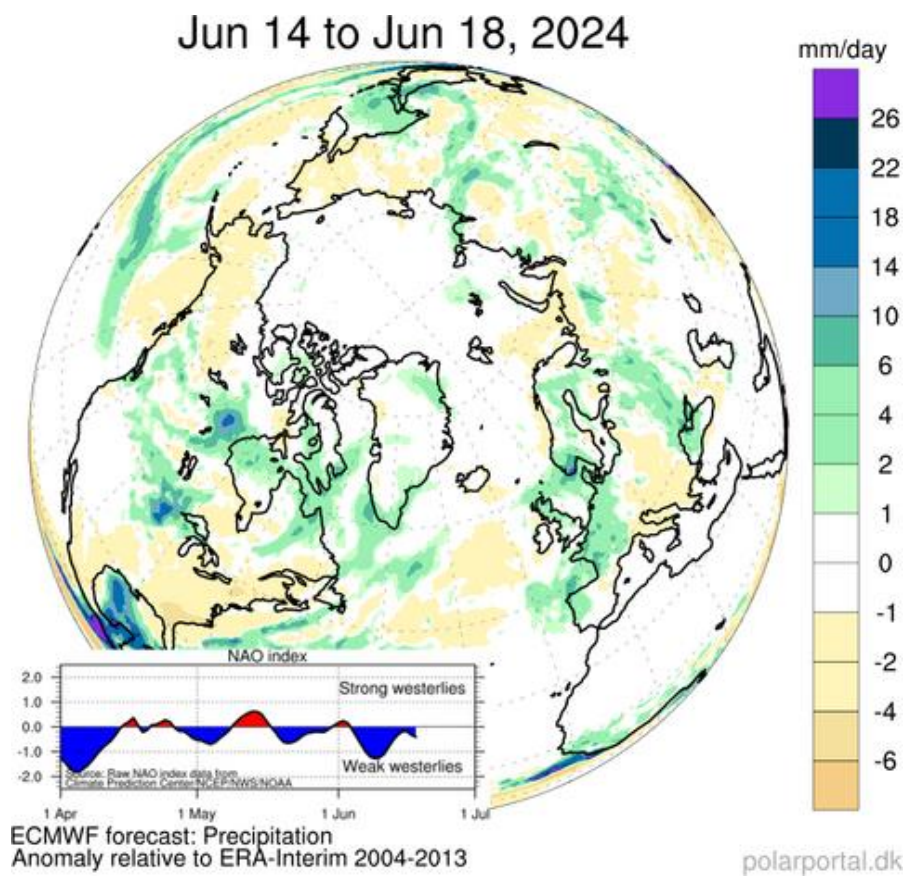


Рисунок 2ж – Аномалии приземной суммы осадков 14.06 – 18.06.2024 гг. относительно периода 2004-2013 гг. (<http://polarportal.dk>)

Таблица 1 – Динамика изменения значений ледовитости по сравнению с предыдущей неделей для морей Северной полярной области 10.06 – 16.06.2024 г. по данным наблюдений SSMR-SSM/I-SMIS

Регион	Северная полярная область	Сектор 45°W-95°E (Гренландское - Карское моря)	Сектор 95°E-170°W (моря Лаптевых - Чукотское, Берингово, Охотское)	Сектор 170°W-45°W (море Бофорта и Канадская Арктика)	Северный Ледовитый океан	Моря СМП (моря Карское-Чукотское)
Разность	-400.5	-167.1	-48.3	-185.1	-375.3	-74.8
тыс.кв.км/сут.	-57.2	-23.9	-6.9	-26.4	-53.6	-10.7

Таблица 2 - Медианные значения ледовитости для Северной полярной области, 3-х меридиональных секторов и моря СМП за текущие 30 и 7-дневные интервалы, и её аномалии от 2019-2023 гг. и интервалов 2014-2024 гг. и 1978-2024 гг. по данным наблюдений SSMR-SSM/I-SSMIS, алгоритмы NASATEAM

Северная полярная область

Месяц	S, тыс. км2	Аномалии, тыс км2/%						
		2019 г	2020 г	2021 г	2022 г	2023 г	2014-2024гг	1978-2024гг
17.05-16.06	12283.6	894.1	570.7	315.3	97.5	114.4	480.4	-143.0
		7.9	4.9	2.6	0.8	0.9	4.1	-1.2
10-16.06	11374.9	595.2	311.2	310.1	139.9	-38.3	287.3	-399.1
		5.5	2.8	2.8	1.2	-0.3	2.6	-3.4

Сектор 45°W-95°E (Гренландское - Карское моря)

Месяц	S, тыс. км2	Аномалии, тыс км2/%						
		2019 г	2020 г	2021 г	2022 г	2023 г	2014-2024гг	1978-2024гг
17.05-16.06	3115.9	329.0	461.5	227.9	219.3	278.8	331.8	-6.2
		11.8	17.4	7.9	7.6	9.8	11.9	-0.2
10-16.06	2863.5	158.6	416.4	288.1	353.8	252.2	303.3	-91.4
		5.9	17.0	11.2	14.1	9.7	11.8	-3.1

Сектор 95°E-170°W (моря Лаптевых - Чукотское, Берингово, Охотское)

Месяц	S, тыс. км2	Аномалии, тыс км2/%						
		2019 г	2020 г	2021 г	2022 г	2023 г	2014-2024гг	1978-2024гг
17.05-16.06	3560.5	154.9	92.6	101.8	105.1	30.2	100.8	-32.0
		4.5	2.7	2.9	3.0	0.9	2.9	-0.9
10-16.06	3435.5	177.8	118.0	200.0	146.6	11.9	114.3	-1.7
		5.5	3.6	6.2	4.5	0.3	3.4	0.0

Сектор 170°W-45°W (море Бофорта и Канадская Арктика)

Месяц	S, тыс. км2	Аномалии, тыс км2/%						
		2019 г	2020 г	2021 г	2022 г	2023 г	2014-2024гг	1978-2024гг
17.05-16.06	5607.1	410.2	16.6	-14.4	-227.0	-194.7	47.9	-104.9
		7.9	0.3	-0.3	-3.9	-3.4	0.9	-1.8
10-16.06	5076.0	258.9	-223.1	-177.9	-360.4	-302.3	-130.2	-305.9
		5.4	-4.2	-3.4	-6.6	-5.6	-2.5	-5.7

Северный Ледовитый океан

Месяц	S, тыс. км2	Аномалии, тыс км2/%						
		2019 г	2020 г	2021 г	2022 г	2023 г	2014-2024гг	1978-2024гг
17.05-16.06	11149.6	477.5	345.0	201.0	59.7	230.7	295.3	-168.3
		4.5	3.2	1.8	0.5	2.1	2.7	-1.5
10-16.06	10457.9	203.9	147.1	145.4	50.7	24.0	100.5	-509.0
		2.0	1.4	1.4	0.5	0.2	1.0	-4.6

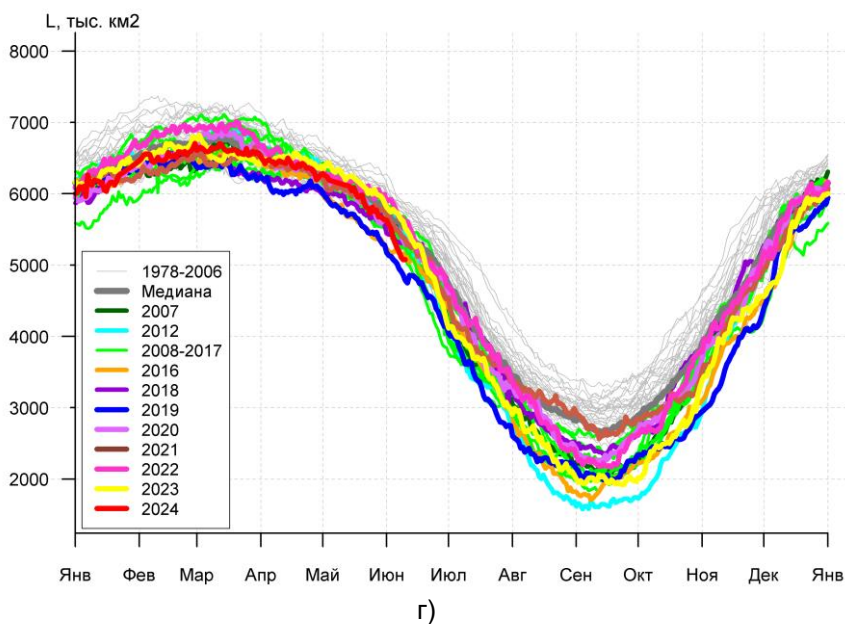
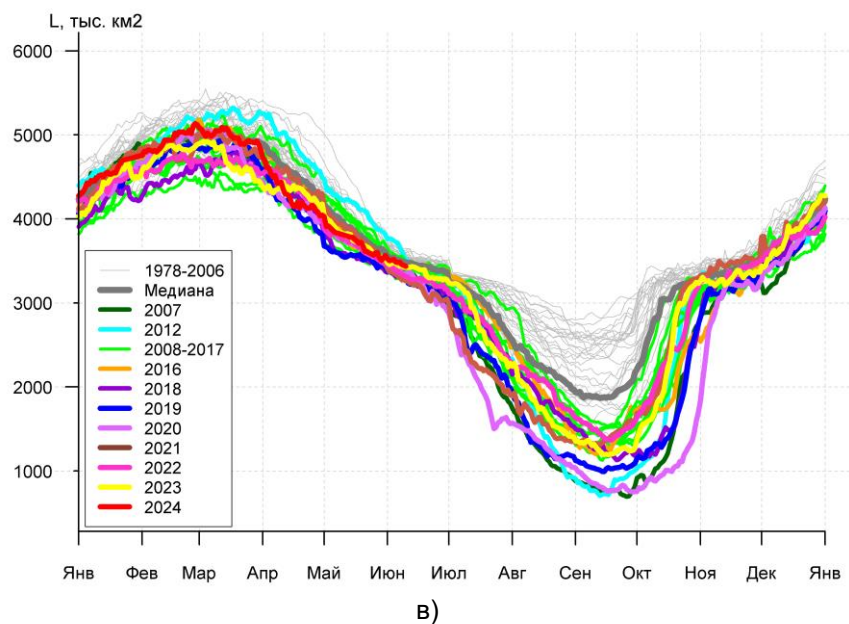
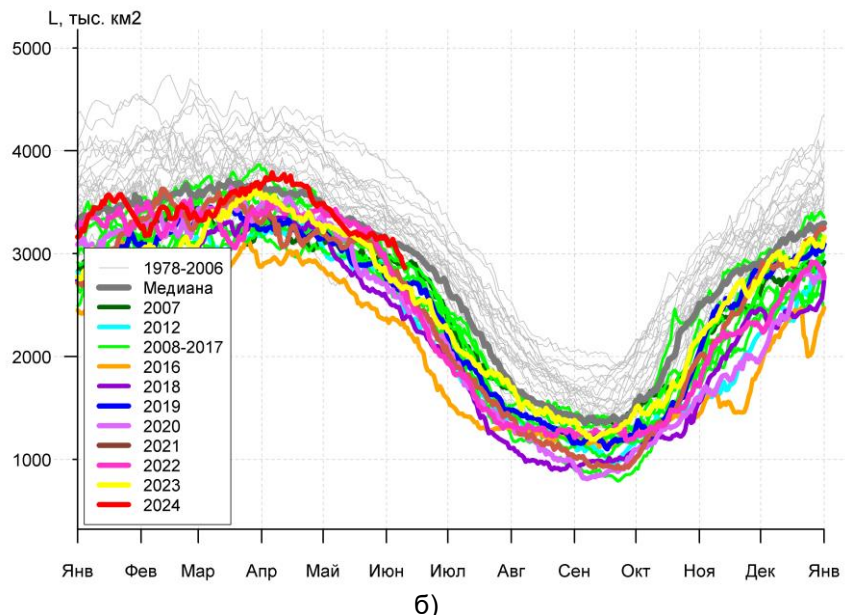
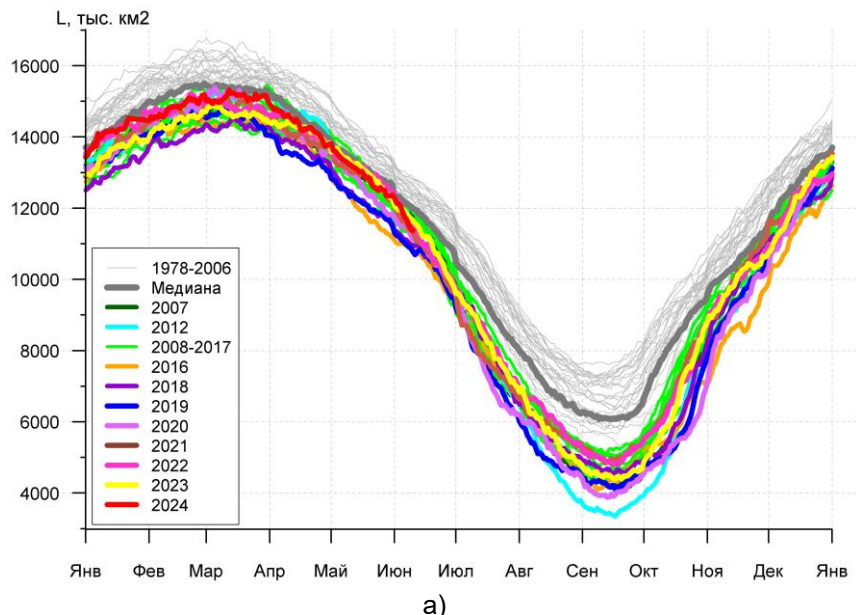
Моря СМП (моря Карское-Чукотское)

Месяц	S, тыс. км2	Аномалии, тыс км2/%						
		2019 г	2020 г	2021 г	2022 г	2023 г	2014-2024гг	1978-2024гг
17.05-16.06	2995.6	268.5	299.1	183.6	135.4	120.7	181.8	79.6
		9.8	11.1	6.5	4.7	4.2	6.5	2.7
10-16.06	2895.8	312.3	423.2	293.8	229.2	147.7	246.9	77.4
		12.1	17.1	11.3	8.6	5.4	9.3	2.7

Таблица 3 – Экстремальные и средние значения ледовитости для Северной полярной области, 3 меридиональных секторов и моря СМП за текущий 7-дневный интервал по данным наблюдений SSMR-SSM/I-SSMIS, алгоритмы

Северная полярная область

Месяц	Минимальное знач.	Максимальное знач.	Среднее знач.	Медиана
10-16.06	10589.5 15.06.2016	12876.3 10.06.1979	11781.5	11813.0
Сектор 45°W-95°E (Гренландское - Карское моря)				
Месяц	Минимальное знач.	Максимальное знач.	Среднее знач.	Медиана
10-16.06	2145.1 15.06.2016	3738.8 10.06.1981	2956.6	2996.8
Сектор 95°E-170°W (моря Лаптевых - Чукотское, Берингово, Охотское)				
Месяц	Минимальное знач.	Максимальное знач.	Среднее знач.	Медиана
10-16.06	3183.5 13.06.1990	3648.5 10.06.1980	3437.2	3463.7
Сектор 170°W-45°W (море Бофорта и Канадская Арктика)				
Месяц	Минимальное знач.	Максимальное знач.	Среднее знач.	Медиана
10-16.06	4749.6 11.06.2019	5878.8 12.06.1983	5387.7	5385.1
Северный Ледовитый океан				
Месяц	Минимальное знач.	Максимальное знач.	Среднее знач.	Медиана
10-16.06	9925.9 16.06.2012	11984.1 10.06.1981	10976.6	11009.0
Моря СМП (моря Карское-Чукотское)				
Месяц	Минимальное знач.	Максимальное знач.	Среднее знач.	Медиана
10-16.06	2342.8 16.06.2011	3023.5 12.06.1983	2816.9	2866.0



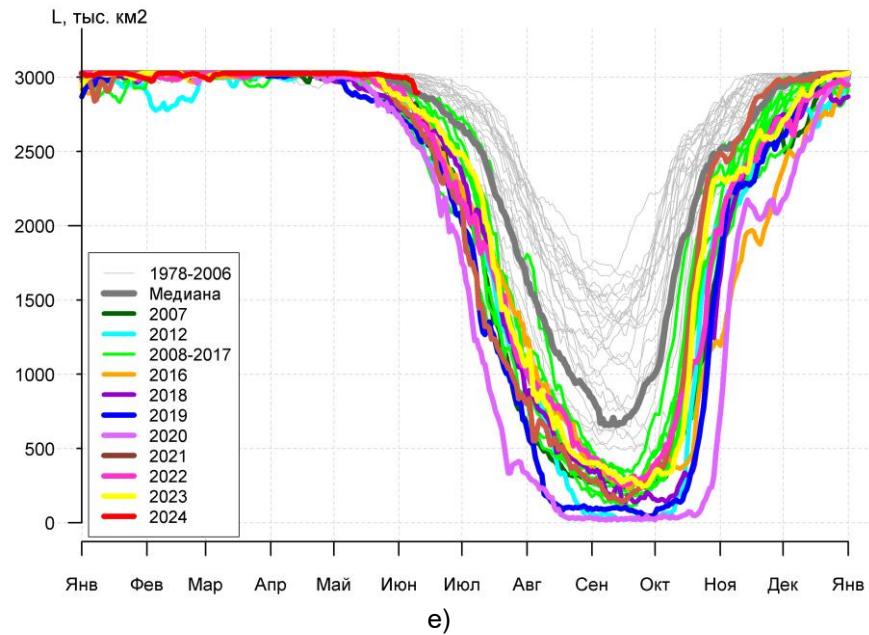
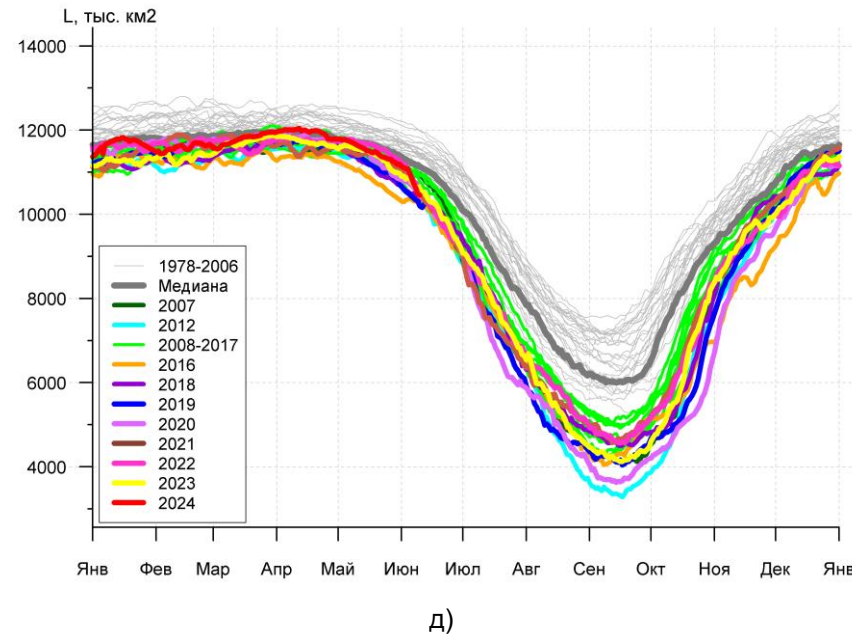


Рисунок 3а – Ежедневные оценки сезонного хода ледовитости для Северной Полярной Области и трех меридиональных секторов за период 26.10.1978 – 16.06.2024 по годам на основе расчетов по данным SSMR-SSMI-SSMIS, алгоритмы NASATEAM: а) Северная полярная область, б) сектор 45°W-95°E (Гренландское – Карское моря), в) сектор 95°E-170°W (моря Лаптевых – Чукотское и Берингово, Охотское), г) сектор 170°W-45°W (море Бофорта и Канадская Арктика), д) Северный Ледовитый океан, е) Северный морской путь (Карское - Чукотское моря).

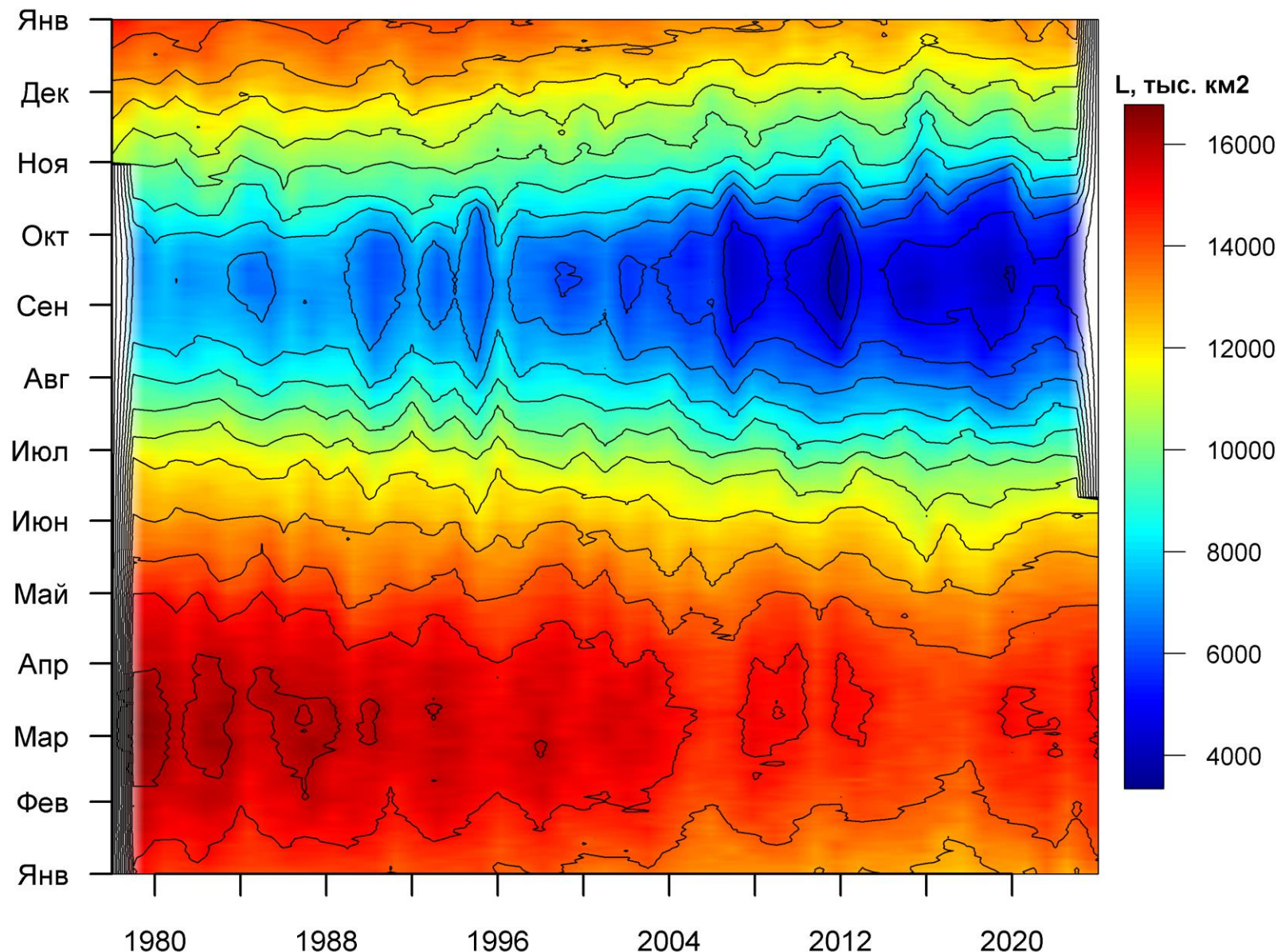


Рисунок 3б – Ежедневные оценки сезонных изменений ледовитости для Северной Полярной Области за период 26.10.1978 – 16.06.2024 на основе расчетов по данным SSMR-SSM/I-SSMIS, алгоритм NASATEAM.

Южный океан

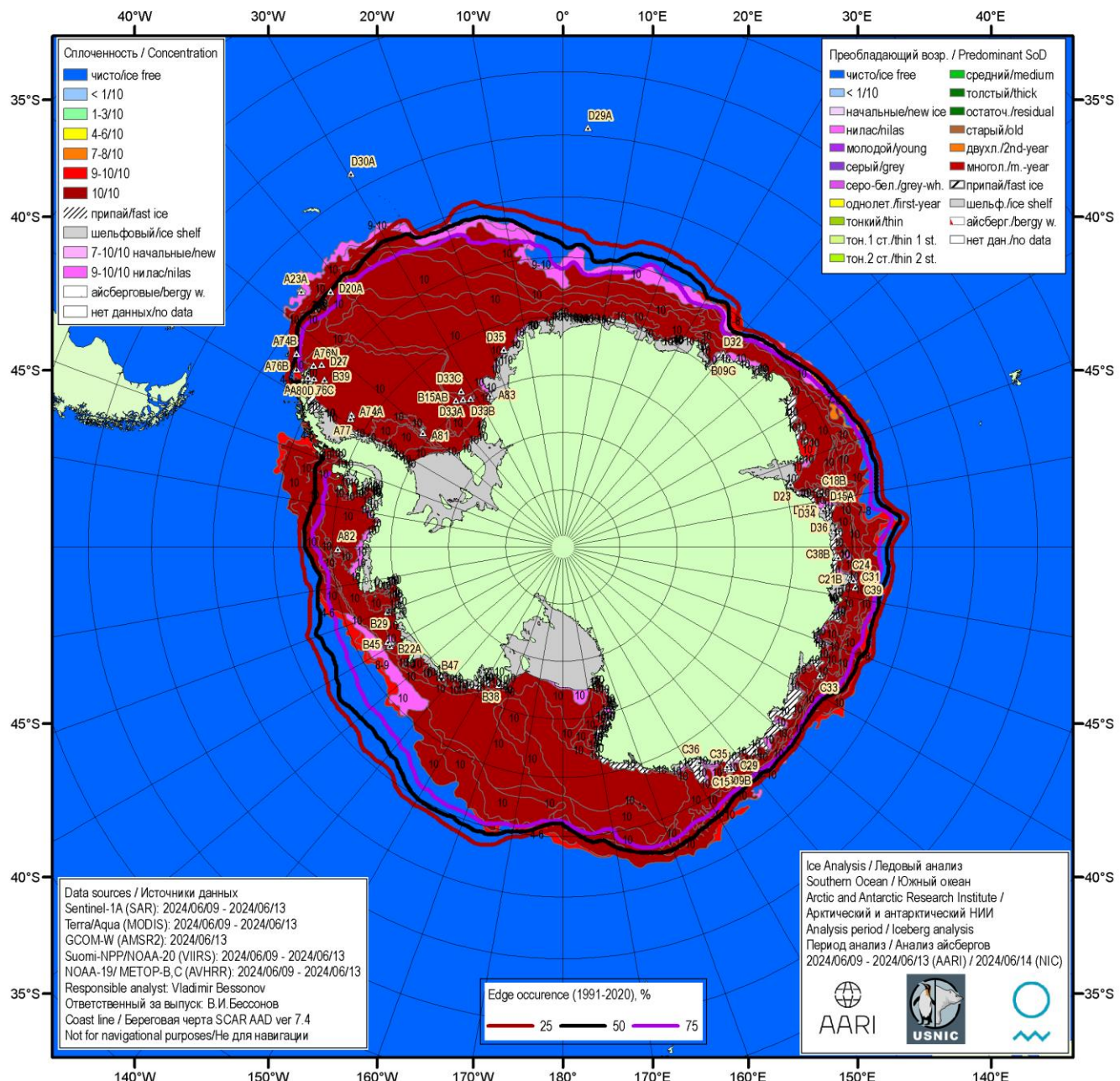


Рисунок 5а – Ледовая карта Южного океана (цветовая окраска по общей сплощенности) и расположение крупных айсбергов на основе ледового анализа за 13.06.2024 в рамках проекта совместного ледового картирования Южного океана ААНИИ, НЛЦ США и НМИ.

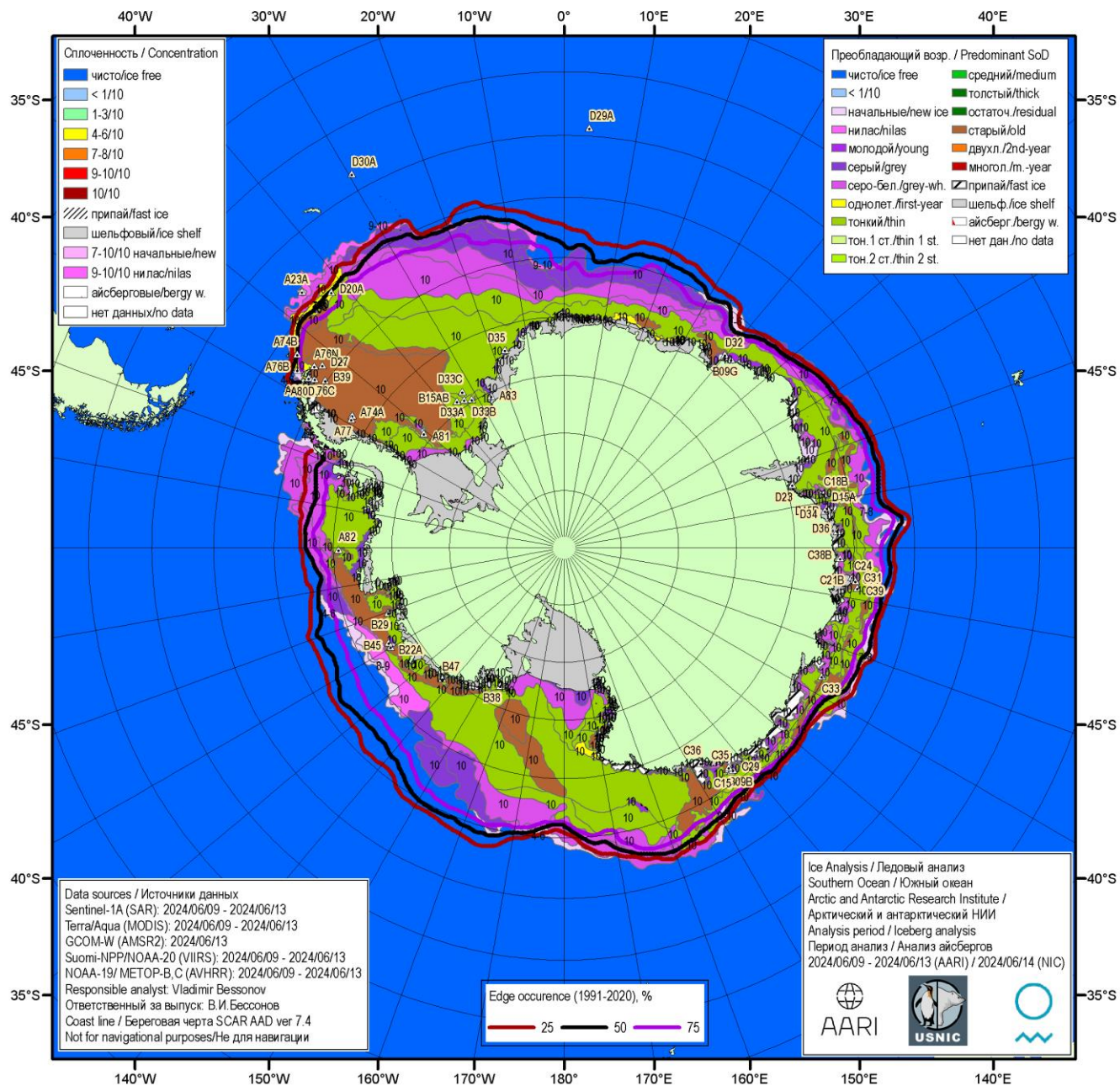


Рисунок 5в – Ледовая карта Южного океана (цветовая окраска по возрасту) и расположение крупных айсбергов на основе ледового анализа за 13.06.2024 в рамках проекта совместного ледового картирования Южного океана ААНИИ, НЛЦ США и НМИ.

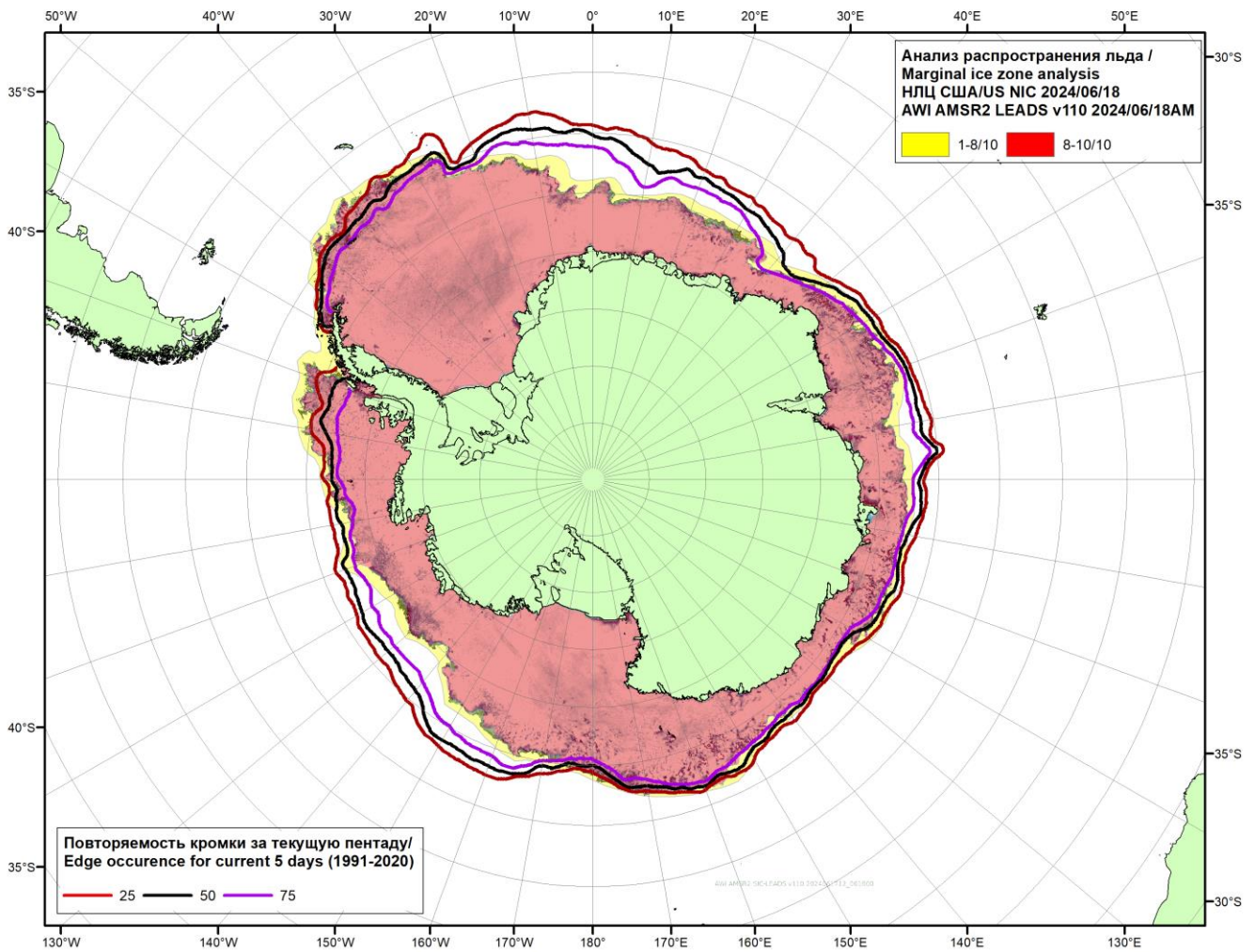
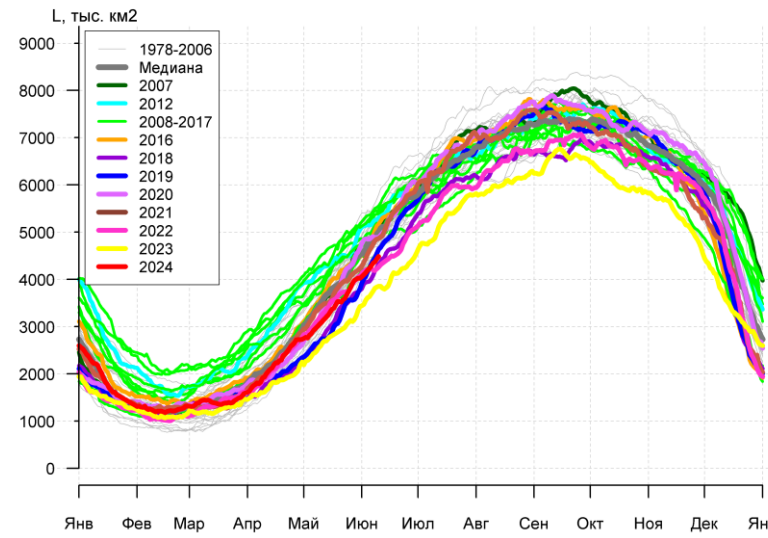
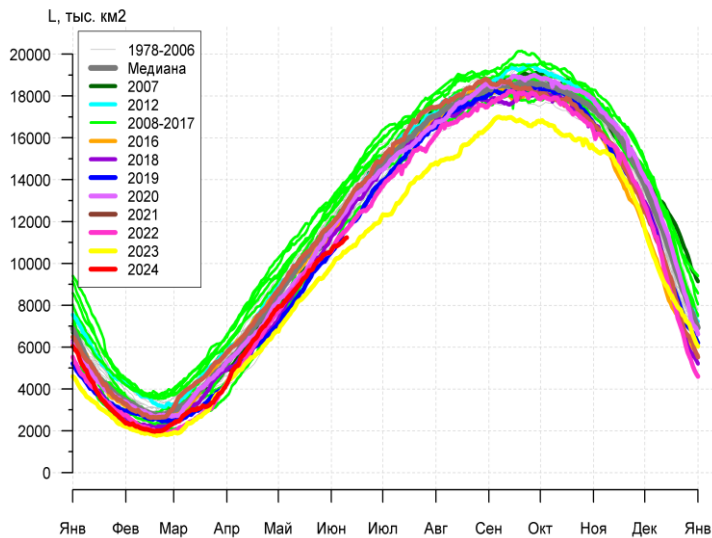


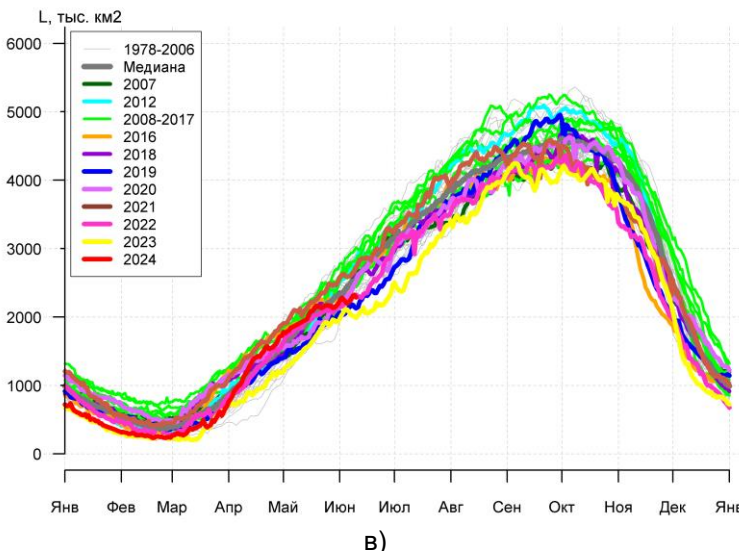
Рисунок 5в – Положение кромки льда и зон разреженных ($<8/10$) и сплоченных ($\geq 8/10$) льдов Южного океана за 18.06.2024 г. на основе ледового анализа Национального Ледового Центра США и повторяемость кромки за 16-20.06 за период 1991-2020 гг. по наблюдениям SSMR-SSM/I-SSMIS (алгоритм NASATEAM), совмещенное с положением разрежений на основе данных ИСЗ AMSR2 за 18.06.2024 (AWI, v110).

Таблица 4 – Линейные размеры крупных айсбергов Южного океана на основе анализа ААНИИ за 25.02.2021 / Table 4 – Southern Ocean tabular icebergs linear dimensions based on AARI analysis for 2021-02-25

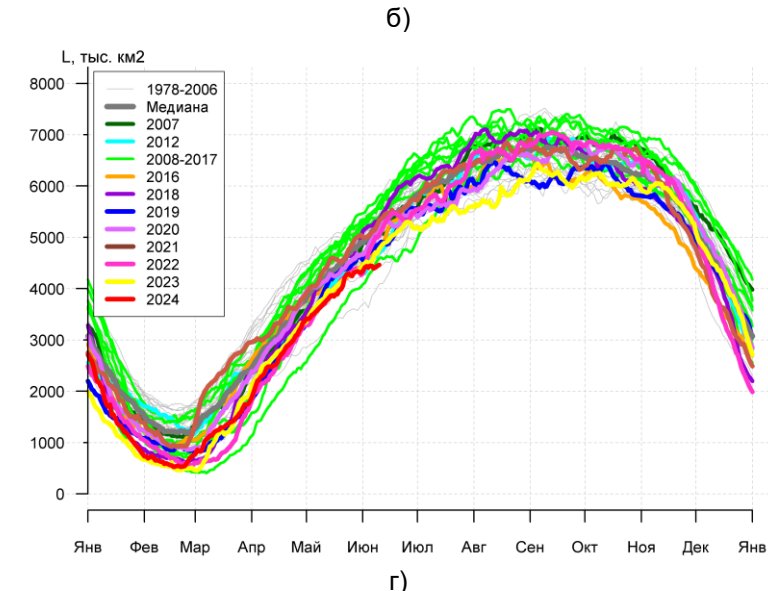
Имя/ Name	Длина/ Length км/км	Ширина/ Width км/км	Площадь/ Area кв.км/sq.km	Имя/ Name	Длина/ Length км/км	Ширина/ Width км/км	Площадь/ Area кв.км/sq.km
A23A	74	63	3996	C36	41	28	147
D15A	94	44	3587	D27	15	9	147
B22A	70	44	3192	A63	20	6	144
D28	54	35	1743	A68K	19	4	142
D15B	61	22	1185	B45	13	11	141
A68A	67	24	894	B42	22	7	138
B09B	44	15	603	A68I	35	6	122
D20A	35	17	455	B46	19	7	111
A64	24	17	346	B15AB	20	7	109
C15	22	15	341	B29	20	9	108
A68E	48	13	334	B39	15	7	105
C21B	20	15	317	A68P	48	11	99
A68M	54	19	287	A68N	48	11	97
A69A	19	17	264	C30	17	6	93
C18B	35	7	243	C33	15	7	88
B50	28	11	232	B38	11	7	87
B09I	22	11	211	C24	20	4	85
B09G	20	13	200	C31	17	6	84
B28	17	11	196	C29	9	9	83
B47	22	9	182	B37	15	6	82
A73	17	9	181	A71	15	6	72
A72	20	7	172	B40	11	9	71
A69B	19	13	169	A68G	48	11	64
D23	15	11	164	B49	19	9	60
A70	15	9	159	A68J	24	4	56
D26	35	4	149	A68O	48	11	55
D21B	19	7	147	A68H	20	9	31
C35	13	9	147	A68P	24	4	11



а)



в)



г)

Рисунок 7а – Ежедневные оценки сезонного хода ледовитости Южного Океана и меридиональных секторов за период 26.10.1978 – 16.06.2024 по годам на основе расчетов по данным SSMR-SSM/I-SSMIS, алгоритм NASATEAM: а) Южный Океан, б) Атлантический сектор (60°W - 30°E , море Уэдделла), в) Индоокеанский сектор (30°E - 150°E , моря Космонавтов, Содружества, Моусона), г) Тихоокеанский сектор (150°E - 60°W , моря Росса, Беллинсгаузена)

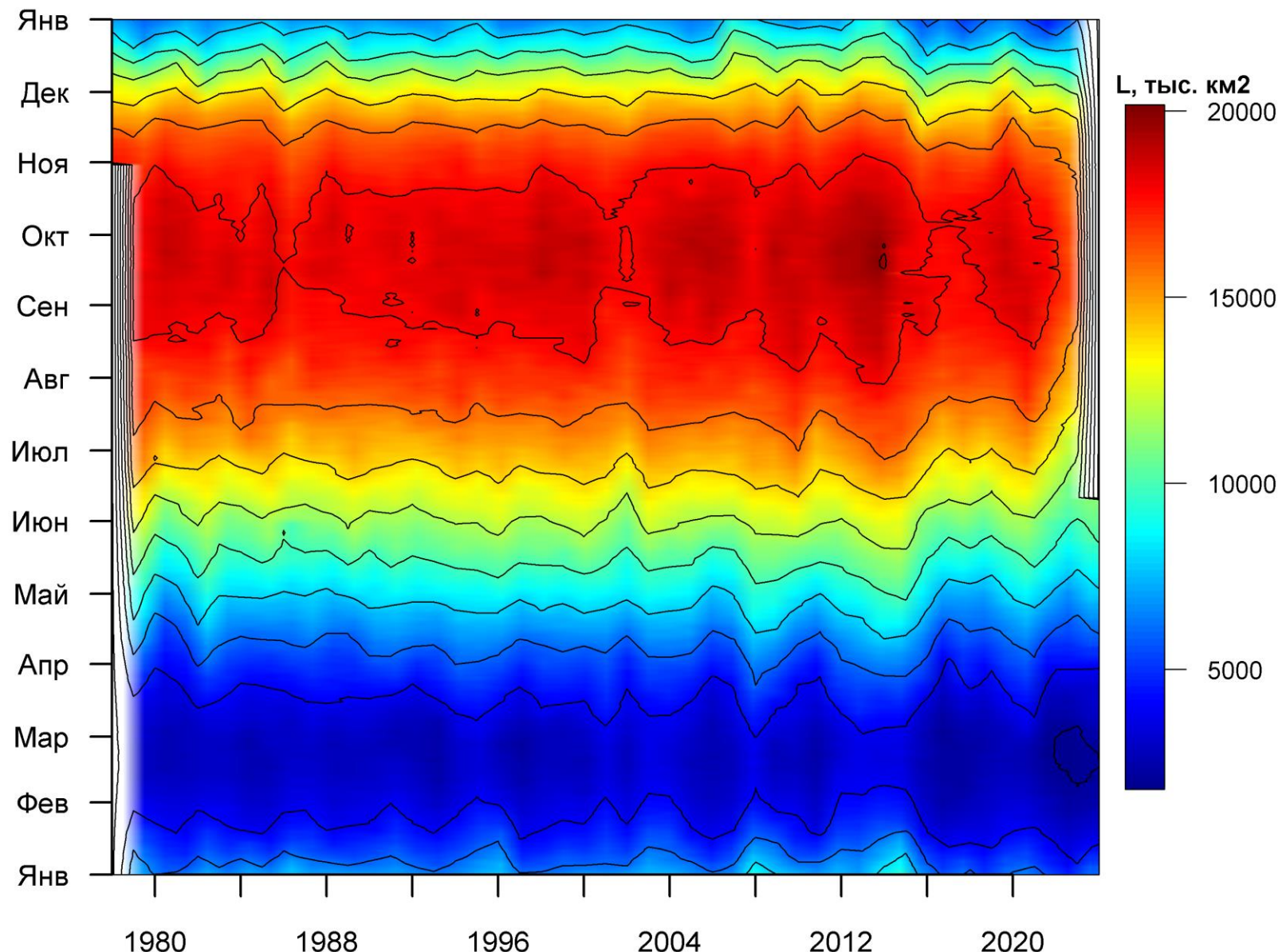


Рисунок 7б – Ежедневные оценки сезонных изменений ледовитости для Южного океана за период 26.10.1978 - 16.06.2024 на основе расчетов по данным SSMR-SSM/I-SSMIS, алгоритмом NASATEAM.

Таблица 5 – Динамика изменения значений ледовитости по сравнению с предыдущей неделей для морей Южного океана за 10.06 - 16.06.2024 по данным наблюдений SSMR-SSM/I-SSMIS

Регион	Южный Океан	Атлантический сектор	Индоокеанский сектор	Тихоокеанский сектор
Разность	273.0	202.6	34.9	35.4
тыс.кв.км/сут.	39.0	28.9	5.0	5.1

Таблица 6 - Медианные значения ледовитости для Южного океана и 3 меридиональных секторов за текущие 30 и 7-дневные интервалы и её аномалии от 2019-2023 гг. и интервалов 2014-2024 гг. и 1978-2024 гг. по данным наблюдений SSMR-SSM

Месяц	S, тыс. км ²	Аномалии, тыс км ² /%						
		2019 г	2020 г	2021 г	2022 г	2023 г	2014-2024гг	1978-2024гг
17.05-16.06	10408.0	-220.5	-1160.5	-1547.6	-413.6	571.9	-958.5	-1343.8
		-2.1	-10.0	-12.9	-3.8	5.8	-8.4	-11.4
10-16.06	11238.9	-676.7	-1740.6	-2064.0	-699.2	443.7	-1351.2	-1754.4
		-5.7	-13.4	-15.5	-5.9	4.1	-10.7	-13.5

Атлантический сектор (60°W-30°E, море Уэдделла)

Месяц	S, тыс. км ²	Аномалии, тыс км ² /%						
		2019 г	2020 г	2021 г	2022 г	2023 г	2014-2024гг	1978-2024гг
17.05-16.06	3939.1	-20.9	-625.8	-465.1	-103.8	530.9	-401.5	-591.4
		-0.5	-13.7	-10.6	-2.6	15.6	-9.2	-13.1
10-16.06	4488.5	-288.0	-572.2	-562.3	118.3	637.7	-399.5	-608.8
		-6.0	-11.3	-11.1	2.7	16.6	-8.2	-11.9

Индоокеанский сектор (30°E-150°E, моря Космонавтов, Содружества, Моусона)

Месяц	S, тыс. км ²	Аномалии, тыс км ² /%						
		2019 г	2020 г	2021 г	2022 г	2023 г	2014-2024гг	1978-2024гг
17.05-16.06	2193.8	148.3	-39.1	-355.4	21.6	238.1	-99.1	-162.7
		7.3	-1.8	-13.9	1.0	12.2	-4.3	-6.9
10-16.06	2288.7	45.5	-363.6	-539.6	-31.5	228.0	-261.1	-363.0
		2.0	-13.7	-19.1	-1.4	11.1	-10.2	-13.7

Тихоокеанский сектор (150°E-60°W, моря Росса, Беллинсгаузена)

Месяц	S, тыс. км ²	Аномалии, тыс км ² /%						
		2019 г	2020 г	2021 г	2022 г	2023 г	2014-2024гг	1978-2024гг
17.05-16.06	4275.1	-347.9	-495.6	-727.0	-331.4	-197.1	-457.9	-589.6
		-7.5	-10.4	-14.5	-7.2	-4.4	-9.7	-12.1
10-16.06	4461.7	-434.1	-804.9	-962.1	-786.0	-422.0	-690.6	-782.6
		-8.9	-15.3	-17.7	-15.0	-8.6	-13.4	-14.9

Таблица 7 – Экстремальные значения ледовитости для Южного океана и 3 меридиональных секторов за текущий 7-дневный интервал по Южный Океан

Месяц	Минимальное знач.	Максимальное знач.	Среднее знач.		Медиана
			Среднее знач.	Медиана	
10-16.06	10610.7 10.06.2023	14682.1 16.06.2014	13026.6	13065.1	

Атлантический сектор (60°W-30°E, море Уэдделла)

Месяц	Минимальное знач.	Максимальное знач.	Среднее знач.	Медиана
10-16.06	3795.2 13.06.2023	6200.0 16.06.2003	5108.9	5120.6

Индоокеанский сектор (30°E-150°E, моря Космонавтов, Содружества, Моусона)

Месяц	Минимальное знач.	Максимальное знач.	Среднее знач.	Медиана
10-16.06	1991.5 10.06.2023	3274.8 16.06.1993	2658.6	2665.2

Тихоокеанский сектор (150°E-60°W, моря Росса, Беллинсгаузена)

Месяц	Минимальное знач.	Максимальное знач.	Среднее знач.	Медиана
10-16.06	4090.3 10.06.1980	6137.7 16.06.1999	5259.1	5299.8

Ледовитость, тыс. км²

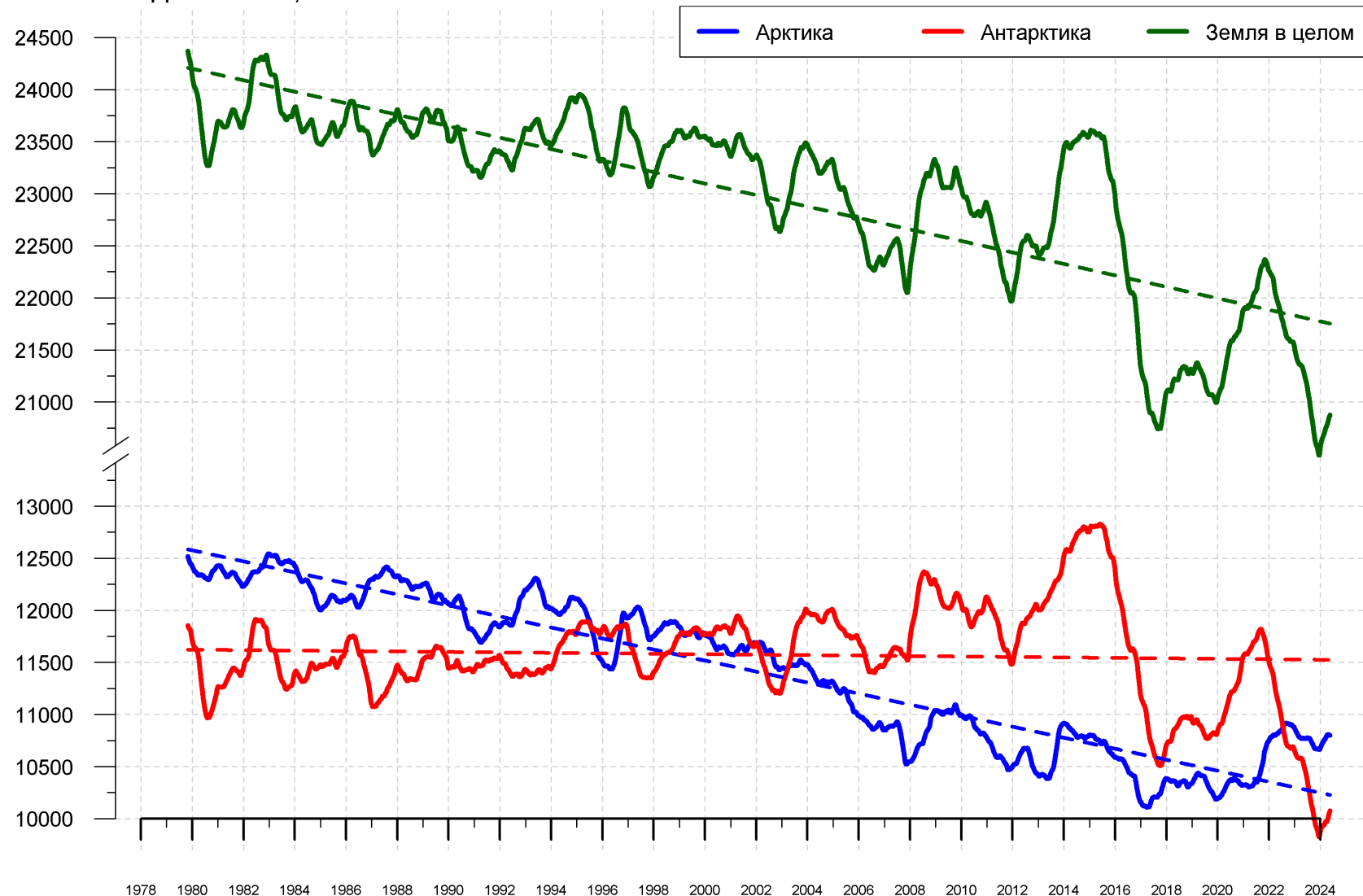


Рисунок 9 – Ежедневные сглаженные окном 365 суток значения ледовитости (площади распространения морского льда) Арктики, Антарктики и Земли в целом с 26.10.1978 по 16.06.2024 на основе SSMR-SSM/I-SSMIS

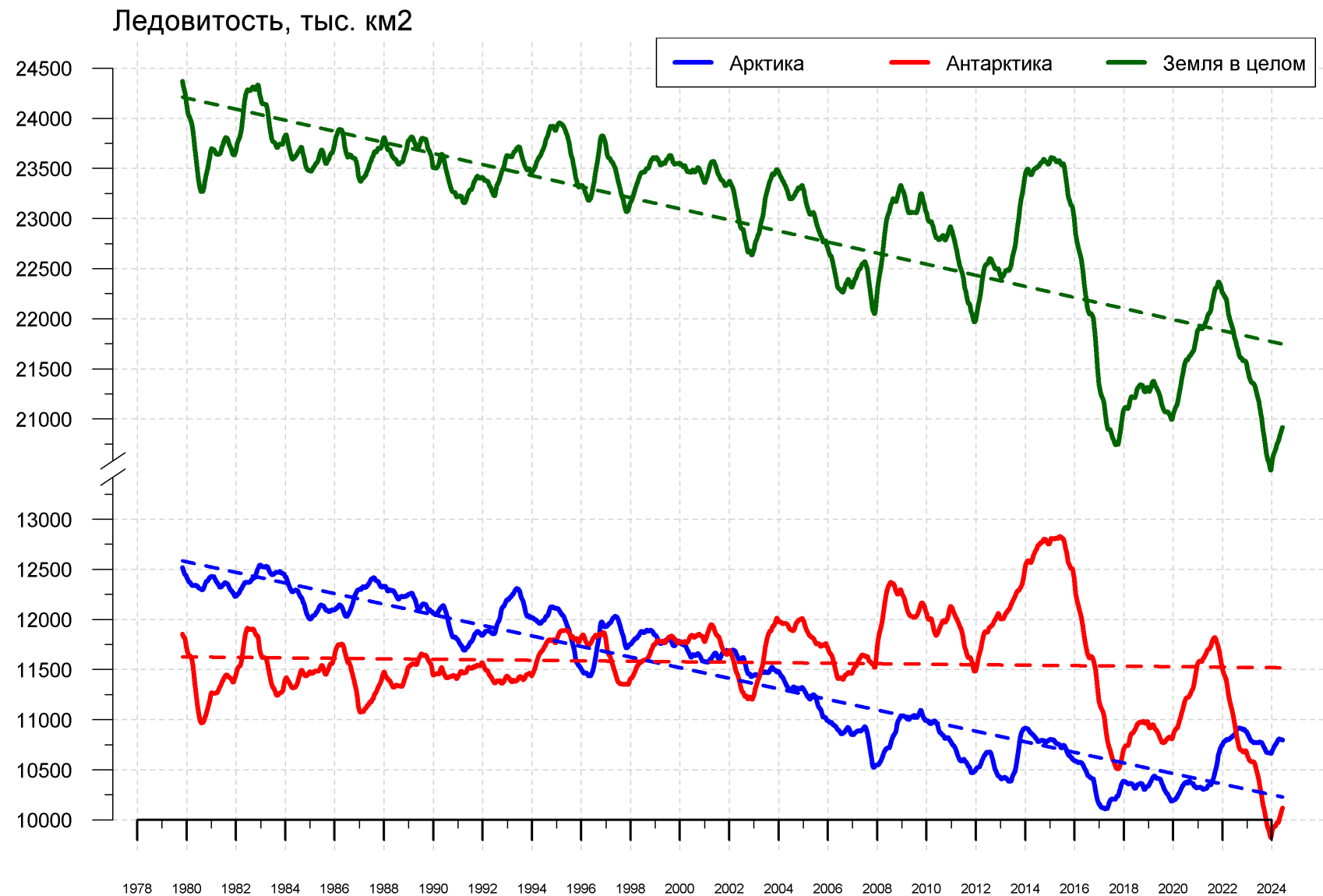


Рисунок 10 – Ежедневные сглаженные окном 365 суток значения приведенной ледовитости (площади морского льда) Арктики, Антарктики и Земли в целом с 26.10.1978 по 16.06.2024 на основе SSMR-SSM/I-SSMIS

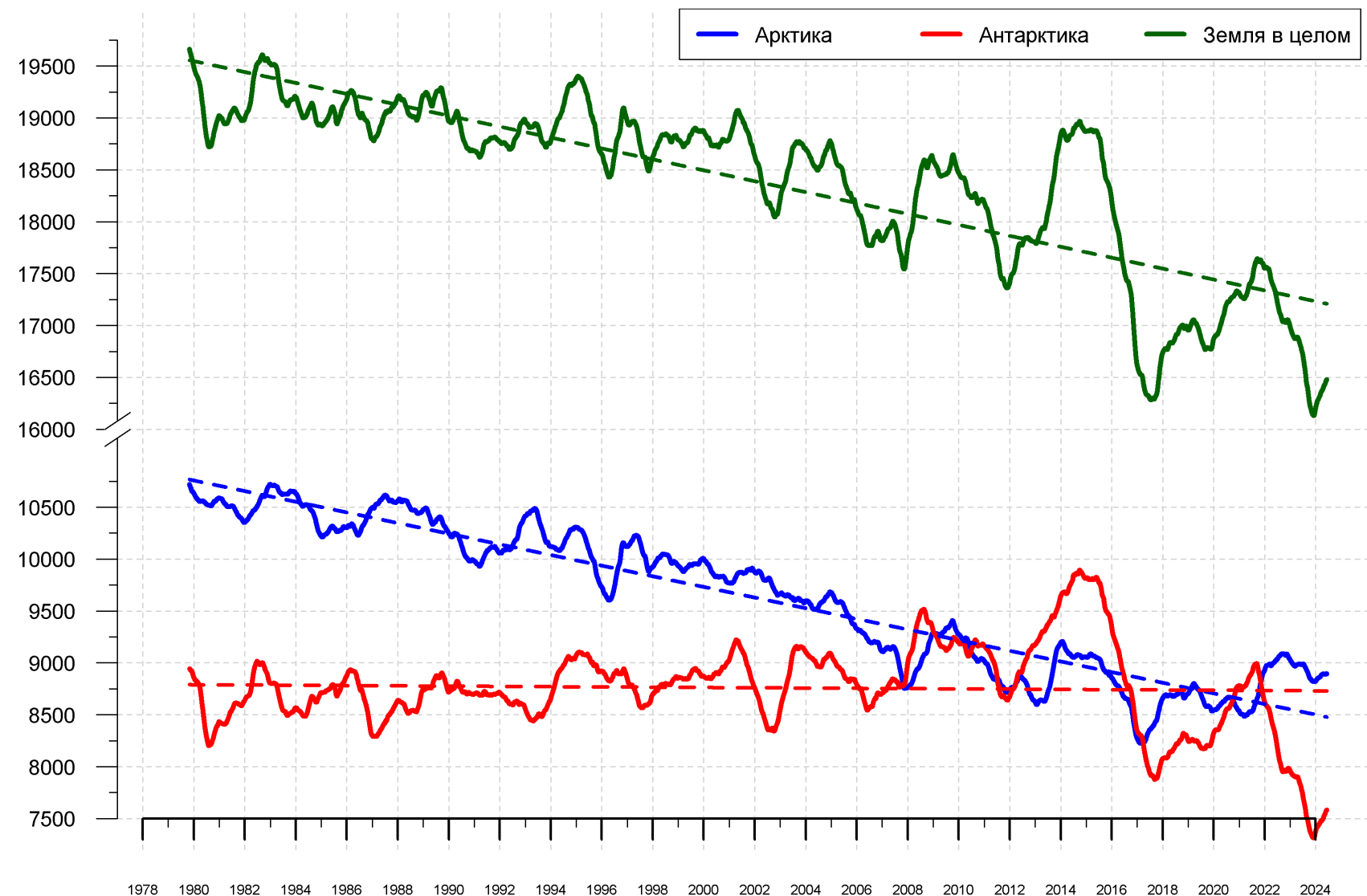


Рисунок 11 – Ежедневные сглаженные окном 365 суток значения средней общей сплоченности Арктики и Антарктики с 07.11.1978 по 16.06.2024 на основе SSMR-SSM/I-SSMIS

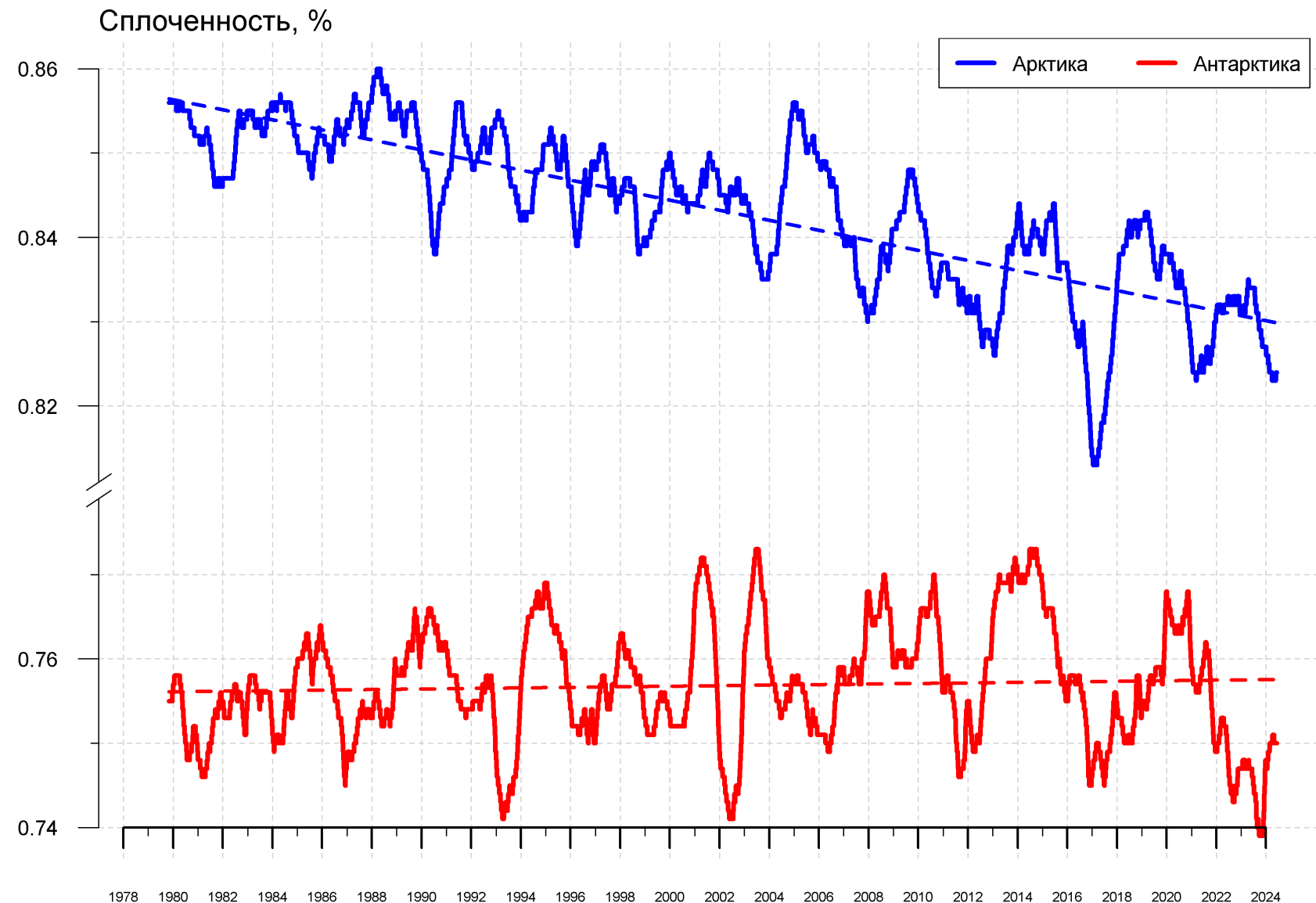


Рисунок 11 – Ежедневные сглаженные окном 365 суток значения средней общей сплошности Арктики и Антарктики с 07.11.1978 по 16.06.2024 на основе SSMR-SSM/I-SSMIS

Приложение 1 – Статистические значения ледовитостей по отдельным акваториям Северной Полярной Области и Южного океана

Таблица 8 – Средние, аномалии среднего и экстремальные значения ледовитостей для Северной и Южной полярных областей и её отдельных акваторий за текущие 7-дневный (неделя) и 30-дневный промежутки времени по данным наблюдений SSMR-SSM/I-SSMIS, алгоритм NASATEAM за период 1978-2024 гг.

10-16.06

Регион	S, тыс. км ²	Аномалии, тыс км ² /%							1978-2024гг			
		2007 г	2012 г	2020 г	2022 г	2023 г	2014-2024гг	1978-2024гг	Минимум дата	Максимум дата	Среднее	Медиана
Сев. полярная область	11374.9	-232.2	355.9	311.2	139.9	-38.3	287.3	-399.1	10589.5	12876.3	11781.5	11813.0
		-2.0	3.2	2.8	1.2	-0.3	2.6	-3.4	15.06.2016	10.06.1979		
Сектор 45°W- 95°E	2863.5	-24.4	484.8	416.4	353.8	252.2	303.3	-91.4	2145.1	3738.8	2956.6	2996.8
		-0.8	20.4	17.0	14.1	9.7	11.8	-3.1	15.06.2016	10.06.1981		
Гренландское море	617.9	-90.4	-92.8	7.7	4.3	-123.9	18.0	-62.5	384.0	879.8	681.6	684.0
		-12.8	-13.1	1.3	0.7	-16.7	3.0	-9.2	16.06.2018	12.06.1981		
Баренцево море	408.7	79.0	298.3	181.9	289.6	254.3	187.2	-48.3	72.5	1060.1	457.9	421.7
		24.0	270.1	80.2	243.0	164.8	84.5	-10.6	14.06.2016	11.06.1979		
Карское море	786.9	-26.3	290.2	228.6	34.6	122.7	77.2	8.8	435.1	839.2	777.9	815.6
		-3.2	58.4	40.9	4.6	18.5	10.9	1.1	16.06.2012	10.06.1979		
Сектор 95°E- 170°W	3435.5	106.5	-25.9	118.0	146.6	11.9	114.3	-1.7	3183.5	3648.5	3437.2	3463.7
		3.2	-0.7	3.6	4.5	0.3	3.4	0.0	13.06.1990	10.06.1980		
Море Лаптевых	631.9	62.8	28.0	35.7	87.0	-4.0	37.4	-1.5	501.7	674.3	633.4	650.5
		11.0	4.6	6.0	16.0	-0.6	6.3	-0.2	16.06.2021	10.06.1979		
Восточно- Сибирское море	910.6	-2.7	16.9	46.0	18.2	7.2	25.6	9.8	713.8	915.1	900.7	913.8
		-0.3	1.9	5.3	2.0	0.8	2.9	1.1	14.06.1990	10.06.1979		
Чукотское море	566.5	126.9	45.5	112.9	89.4	22.0	106.9	60.4	331.5	597.3	504.9	517.8
		28.9	8.7	24.9	18.7	4.0	23.2	11.9	15.06.2017	10.06.1983		
Берингово море	62.7	27.7	-54.3	9.0	24.0	27.3	28.4	4.5	3.0	172.9	58.2	54.8
		79.2	-46.4	16.8	61.9	76.9	82.6	7.6	13.06.2018	10.06.2012		
Сектор 170°W- 45°W	5076.0	-314.2	-102.9	-223.1	-360.4	-302.3	-130.2	-305.9	4749.6	5878.8	5387.7	5385.1
		-5.8	-2.0	-4.2	-6.6	-5.6	-2.5	-5.7	11.06.2019	12.06.1983		
Море Бафорта	401.5	-50.5	42.5	-68.9	-85.1	-56.5	-16.8	-44.7	224.1	486.6	447.0	472.5
		-11.2	11.8	-14.6	-17.5	-12.3	-4.0	-10.0	10.06.2019	10.06.1980		
Гудзонов залив	457.5	-292.4	-268.1	-237.4	-166.3	-119.0	-205.3	-258.0	434.8	835.0	720.4	742.0
		-39.0	-36.9	-34.2	-26.7	-20.6	-31.0	-36.1	16.06.1999	10.06.1983		
Море Лабрадор	18.6	-84.1	-15.8	-22.8	-1.5	-62.2	-33.7	-56.7	3.1	210.6	76.4	72.2
		-81.9	-46.0	-55.1	-7.6	-77.0	-64.4	-75.3	12.06.2021	15.06.1984		
Дейвисов пролив	268.8	-58.3	-4.8	-3.0	-50.6	-96.8	-27.3	-38.7	207.0	408.5	308.2	306.3
		-17.8	-1.8	-1.1	-15.8	-26.5	-9.2	-12.6	16.06.2021	13.06.1982		
Канадский архипелаг	1027.0	-97.7	-102.1	-69.8	-114.1	-50.7	-79.3	-104.8	972.6	1189.5	1133.8	1145.0
		-8.7	-9.0	-6.4	-10.0	-4.7	-7.2	-9.3	16.06.2010	11.06.1996		

17.05-16.06

Регион	S, тыс. км2	Аномалии, тыс км2/%							1978-2024гг			
		2007 г	2012 г	2020 г	2022 г	2023 г	2014- 2024гг	1978- 2024гг	Минимум дата	Максимум дата	Среднее	Медиана
Сев. полярная область	12283.6	105.5 0.9	141.4 1.2	570.7 4.9	97.5 0.8	114.4 0.9	480.4 4.1	-143.0 -1.2	10589.5 15.06.2016	14114.8 17.05.1985	12427.1	12463.5
Сектор 45°W- 95°E	3115.9	176.7 6.0	408.7 15.1	461.5 17.4	219.3 7.6	278.8 9.8	331.8 11.9	-6.2 -0.2	2145.1 15.06.2016	4111.5 17.05.1981	3122.1	3128.8
Гренландское море	697.1	0.4 0.1	-44.6 -6.0	71.6 11.5	14.7 2.1	-90.9 -11.5	52.7 8.2	-8.8 -1.2	384.0 16.06.2018	925.8 17.05.1981	705.9	704.6
Баренцево море	529.6	165.7 45.5	306.8 137.7	219.3 70.6	182.2 52.4	278.9 111.2	200.6 61.0	-16.3 -3.0	72.5 14.06.2016	1159.0 17.05.1979	546.0	539.1
Карское море	831.4	3.4 0.4	149.1 21.9	176.5 26.9	21.3 2.6	94.8 12.9	58.3 7.5	22.9 2.8	435.1 16.06.2012	839.2 17.05.1979	808.4	836.3
Сектор 95°E- 170°W	3560.5	58.0 1.7	-223.7 -5.9	92.6 2.7	105.1 3.0	30.2 0.9	100.8 2.9	-32.0 -0.9	3183.5 13.06.1990	4375.2 17.05.1980	3592.6	3563.0
Море Лаптевых	667.4	71.4 12.0	25.6 4.0	33.7 5.3	59.2 9.7	17.8 2.7	32.3 5.1	13.6 2.1	501.7 16.06.2021	674.3 17.05.1981	653.8	671.1
Восточно- Сибирское море	914.7	1.7 0.2	4.6 0.5	24.4 2.7	6.2 0.7	2.9 0.3	14.6 1.6	7.7 0.9	702.7 08.06.1990	915.1 17.05.1980	907.0	915.1
Чукотское море	582.1	53.9 10.2	8.9 1.5	64.6 12.5	48.6 9.1	5.2 0.9	76.6 15.1	35.4 6.5	331.5 15.06.2017	597.3 17.05.1979	546.5	566.5
Берингово море	149.9	9.5 6.8	-245.3 -62.1	28.4 23.4	53.2 55.0	16.2 12.2	69.3 86.0	-1.7 -1.1	3.0 13.06.2018	700.3 17.05.2012	151.6	109.0
Сектор 170°W- 45°W	5607.1	-129.2 -2.3	-43.6 -0.8	16.6 0.3	-227.0 -3.9	-194.7 -3.4	47.9 0.9	-104.9 -1.8	4749.6 11.06.2019	6432.8 24.05.1984	5712.4	5749.6
Море Бафорта	461.3	-16.9 -3.5	48.8 11.8	-21.4 -4.4	-22.6 -4.7	-15.6 -3.3	19.5 4.4	-1.4 -0.3	224.1 10.06.2019	486.6 17.05.1979	462.6	483.4
Гудзонов залив	614.7	-194.4 -24.0	-186.7 -23.3	-148.9 -19.5	-151.5 -19.8	-120.6 -16.4	-133.3 -17.8	-166.7 -21.3	433.8 09.06.2024	839.0 17.05.1983	782.1	804.5
Море Лабрадор	54.0	-95.5 -63.9	-46.6 -46.3	4.8 9.7	-22.1 -29.0	-52.3 -49.2	-37.1 -40.7	-61.1 -53.1	3.1 12.06.2021	352.8 17.05.1984	115.3	106.6
Дейвисов пролив	309.2	-42.8 -12.2	-15.1 -4.7	17.5 6.0	-59.8 -16.2	-74.8 -19.5	-30.5 -9.0	-38.5 -11.1	207.0 16.06.2021	522.2 17.05.1982	347.8	342.4
Канадский архипелаг	1137.5	-2.3 -0.2	-28.4 -2.4	9.5 0.8	-35.0 -3.0	16.2 1.4	-8.2 -0.7	-22.3 -1.9	972.6 16.06.2010	1190.1 17.05.1979	1159.8	1169.1

10-16.06

Регион	S, тыс. км2	Аномалии, тыс км2/%							1978-2024гг			
		2007 г	2012 г	2020 г	2022 г	2023 г	2014- 2024гг	1978- 2024гг	Минимум дата	Максимум дата	Среднее	Медиана
Южный Океан	11238.9	-1795.8 -13.8	-1941.4 -14.7	-1740.6 -13.4	-699.2 -5.9	443.7 4.1	-1351.2 -10.7	-1754.4 -13.5	10610.7 10.06.2023	14682.1 16.06.2014	13026.6	13065.1
Атлантический сектор	4488.5	-742.1 -14.2	-921.8 -17.0	-572.2 -11.3	118.3 2.7	637.7 16.6	-399.5 -8.2	-608.8 -11.9	3795.2 13.06.2023	6200.0 16.06.2003	5108.9	5120.6
Западная часть моря Уэдделла	2382.0	-1.3 -0.1	64.2 2.8	195.8 9.0	476.1 25.0	443.1 22.9	160.9 7.2	110.9 4.9	1854.5 15.06.1999	2699.6 16.06.1991	2269.0	2286.4
Восточная часть моря Уэдделла	2106.5	-740.8 -26.0	-986.0 -31.9	-767.9 -26.7	-357.7 -14.5	194.7 10.2	-560.4 -21.0	-719.8 -25.5	1858.0 14.06.2023	3717.4 16.06.2003	2839.9	2874.0
Индоокеанский сектор	2288.7	-403.6 -15.0	-630.1 -21.6	-363.6 -13.7	-31.5 -1.4	228.0 11.1	-261.1 -10.2	-363.0 -13.7	1991.5 10.06.2023	3274.8 16.06.1993	2658.6	2665.2
Море Космонавтов	394.0	-128.5 -24.6	-247.5 -38.6	-69.5 -15.0	-76.6 -16.3	71.7 22.2	-61.9 -13.6	-87.8 -18.2	192.6 10.06.1987	845.7 10.06.1989	483.4	466.3
Море Содружества	681.7	-318.3 -31.8	-224.6 -24.8	-186.9 -21.5	-2.2 -0.3	-86.6 -11.3	-181.6 -21.0	-256.3 -27.3	631.5 14.06.2022	1198.0 16.06.1998	942.9	951.7
Море Моусона	1213.1	43.3 3.7	-157.9 -11.5	-107.1 -8.1	47.3 4.1	243.0 25.0	-17.6 -1.4	-18.8 -1.5	927.2 10.06.1980	1614.9 15.06.2014	1232.3	1233.7
Тихоокеанский сектор	4461.7	-650.1 -12.7	-389.6 -8.0	-804.9 -15.3	-786.0 -15.0	-422.0 -8.6	-690.6 -13.4	-782.6 -14.9	4090.3 10.06.1980	6137.7 16.06.1999	5259.1	5299.8
Море Росса	3624.4	-989.3 -21.4	-449.2 -11.0	-990.0 -21.5	-1082.9 -23.0	-802.9 -18.1	-850.6 -19.0	-887.2 -19.7	3092.5 10.06.1980	5317.2 16.06.1999	4528.4	4592.1
Море Беллинсгаузена	837.3	339.2 68.1	59.6 7.7	185.1 28.4	296.9 54.9	380.9 83.4	159.9 23.6	104.6 14.3	328.9 11.06.2017	1472.9 16.06.1991	730.7	695.0

17.05-16.06

Регион	S, тыс. км2	Аномалии, тыс км2/%							1978-2024гг			
		2007 г	2012 г	2020 г	2022 г	2023 г	2014- 2024гг	1978- 2024гг	Минимум дата	Максимум дата	Среднее	Медиана
Южный Океан	10408.0	-1202.5	-1512.0	-1160.5	-413.6	571.9	-958.5	-1343.8	8510.9	14682.1	11757.5	11796.4
		-10.4	-12.7	-10.0	-3.8	5.8	-8.4	-11.4	17.05.2023	16.06.2014		
Атлантический сектор	3939.1	-673.8	-1010.4	-625.8	-103.8	530.9	-401.5	-591.4	2833.5	6200.0	4533.0	4534.6
		-14.6	-20.4	-13.7	-2.6	15.6	-9.2	-13.1	17.05.2023	16.06.2003		
Западная часть моря Уэдделла	2251.5	5.5	24.8	48.8	302.4	446.8	98.0	69.1	1660.2	2699.6	2182.2	2199.6
		0.2	1.1	2.2	15.5	24.8	4.5	3.2	17.05.2023	16.06.1991		
Восточная часть моря Уэдделла	1687.6	-679.3	-1035.2	-674.6	-406.2	84.1	-499.5	-660.5	1023.7	3717.4	2350.9	2370.5
		-28.7	-38.0	-28.6	-19.4	5.2	-22.8	-28.1	17.05.2018	16.06.2003		
Индоокеанский сектор	2193.8	-61.4	-289.9	-39.1	21.6	238.1	-99.1	-162.7	1606.9	3274.8	2357.2	2339.3
		-2.7	-11.7	-1.8	1.0	12.2	-4.3	-6.9	21.05.1986	16.06.1993		
Море Космонавтов	370.5	-32.3	-98.6	26.5	3.0	104.2	6.6	-15.9	157.4	863.3	386.4	356.8
		-8.0	-21.0	7.7	0.8	39.1	1.8	-4.1	23.05.1980	09.06.1989		
Море Содружества	723.2	-110.6	-100.1	-6.1	-19.1	39.1	-63.0	-117.4	535.5	1198.0	841.1	837.5
		-13.3	-12.2	-0.8	-2.6	5.7	-8.0	-14.0	17.05.2023	16.06.1998		
Море Моусона	1100.1	81.5	-91.2	-59.6	37.7	94.9	-42.7	-29.5	703.0	1614.9	1129.7	1118.8
		8.0	-7.7	-5.1	3.5	9.4	-3.7	-2.6	17.05.1980	15.06.2014		
Тихоокеанский сектор	4275.1	-467.3	-211.6	-495.6	-331.4	-197.1	-457.9	-589.6	3403.2	6137.7	4867.2	4882.3
		-9.9	-4.7	-10.4	-7.2	-4.4	-9.7	-12.1	17.05.1980	16.06.1999		
Море Росса	3596.2	-754.2	-360.9	-688.9	-623.9	-502.9	-569.9	-648.0	2572.1	5317.2	4246.9	4272.6
		-17.3	-9.1	-16.1	-14.8	-12.3	-13.7	-15.3	17.05.1980	16.06.1999		
Море Беллинсгаузена	679.0	286.9	149.2	193.3	292.6	305.8	112.0	58.4	169.8	1472.9	620.3	598.9
		73.2	28.2	39.8	75.7	82.0	19.7	9.4	18.05.2001	16.06.1991		

Таблица 10 – Динамика изменения значений ледовитости по сравнению с предыдущей неделей для морей Северной полярной области и Южного океана за текущий 7-дневный (неделя) промежуток времени по данным наблюдений SSMIS

10-16.06				
Регион	Сев. полярная область	Сектор 45°W-95°E	Гренландское море	Баренцево море
Разность	-400.5	-167.1	-69.6	-72.5
тыс.кв.км/ сут.	-57.2	-23.9	-9.9	-10.4
10-16.06				
Регион	Карское море	Сектор 95°E-170°W	Море Лаптевых	Восточно-Сибирское море
Разность	-38.1	-48.3	-24.7	-3.8
тыс.кв.км/ сут.	-5.4	-6.9	-3.5	-0.5
10-16.06				
Регион	Чукотское море	Берингово море	Сектор 170°W-45°W	Море Бофорта
Разность	-8.1	-13.6	-185.1	-34.6
тыс.кв.км/ сут.	-1.2	-1.9	-26.4	-4.9
10-16.06				
Регион	Гудзонов залив	Море Лабрадор	Дейвисов пролив	Канадский архипелаг
Разность	-42.3	-5.2	-18.8	-62.6
тыс.кв.км/ сут.	-6.0	-0.7	-2.7	-8.9
10-16.06				
Регион	Южный Океан	Атлантический сектор	Западная часть моря Уэдделла	Восточная часть моря Уэдделла
Разность	273.0	202.6	41.0	161.7
тыс.кв.км/ сут.	39.0	28.9	5.9	23.1
10-16.06				
Регион	Индоокеанский сектор	Море Космонавтов	Море Содружества	Море Моусона
Разность	34.9	-12.5	-37.6	85.1
тыс.кв.км/ сут.	5.0	-1.8	-5.4	12.2
10-16.06				
Регион	Тихоокеанский сектор	Море Росса	Море Беллинсгаузена	
Разность	35.4	-13.7	49.1	
тыс.кв.км/ сут.	5.1	-2.0	7.0	

Характеристика исходного материала и методика расчетов

Для иллюстрации ледовых условий Арктического региона представлены совмещенные региональные карты ААНИИ [4, 6], Канадской ледовой службы – КЛС [12], Национального ледового центра США – НЛЦ [10], Ледовой службы отделения Аляска НОАА [23] и НИЦ Планета [9]. Совмещение карт выполнено путем перекрытия слоев отдельных ледовых служб в зависимости от времени ледового анализа. Карты ААНИИ характеризуют ледовые условия морей Гренландского...Бофорта, карты НИЦ Планета – Азовского, Каспийского, Берингова, Охотского, Японского, карты НЛЦ – Северных частей Тихого и Атлантического океанов и Арктического бассейна, вод Гренландии, Ледовой службы отделения Аляска НОАА – Берингово, Чукотское моря, КЛС - морей Бофорта, Канадского архипелага, Баффина, Девисова пролива, Лабрадор, Св. Лаврентия. Для ледовых условий и распределения айсбергов Южного океана использованы данные проекта по интегрированному ледовому анализу Южного океана – циркумполярные карты ААНИИ [5, 7], НЛЦ [10, 11] и карты акватории Антарктического полуострова Норвежского метеорологического института (НМИ) [21]. Для построения совмещенных карт используется архив данных в обменном формате ВМО СИГРИД-3 [18] Мирового центра данных по морскому льду (МЦД МЛ) – проекта ВМО «Глобальный Банк Цифровых Данных по Морскому Льду». В пределах отдельного срока выборка карт из архива проводится по критериям близости карт к сроку выпуска карты ААНИИ с максимальным интервалом времени между картами до 7 суток (день недели выпуска карт ААНИИ – вторник, Ледовой службы отделения Аляска НОАА – ежедневно, НИЦ Планета – понедельник-четверг, КЛС – понедельник, НЛЦ – четверг для морского льда и четверг/пятница – для крупных айсбергов Южного океана, НМИ - понедельник).

Для иллюстрации полей толщин льда СЛО использованы ежедневные данные по распределению средневзвешенной толщины льда численной модели HYCOM-CICE Датского метеорологического института (ДМИ) [20]. Численная модель HYCOM-CICE имеет разрешение 10x10 км и является совместной моделью морского льда – океана. Портал полярных данных ДМИ [22] используется также как источник данных по оценке объема льда СЛО, температуры поверхности океана/морского льда, аномалий температуры воздуха и поля приземного ветра.

Для иллюстрации ледовых условий Северной Полярной области и Южного океана за последние сутки используются ежедневные циркумполярные ледовые информационные продукты НЛЦ США по оценке расположения кромки льда и ледяных массивов - MIZ (Marginal Ice Zone).

Для цветовой окраски карт использован стандарт ВМО (WMO/Td. 1215) [19] для зимнего (по возрасту) и летнего (по общей сплошности) периодов. Следует также отметить, что в зонах стыковки карт ААНИИ, Ледовой службы отделения Аляска НОАА, КЛС и НЛЦ наблюдается определенная несогласованность границ и характеристик ледовых зон вследствие ряда различий в ледовых информационных системах подготавливающих служб. Однако, данная несогласованность несущественна для целей интерпретации ледовых условий в рамках настоящего обзора.

Для оценки распределения толщин льда в морях СМП использованы совмещенные недельные данные дистанционного зондирования ИСЗ Cryosat-2 (радиолокационная альтиметрия) и SMOS (пассивное микроволновое зондирование), подготавливаемые Институтом полярных исследований им. А.Вегенера (AWI) [24].

Для получения оценок ледовитости (extent) и приведенной ледовитости – площади льда (area) отдельных секторов, морей, частей морей Северной Полярной области и Южного океана и климатического положения кромок заданной повторяемости на основе данных спутниковых систем пассивного микроволнового зондирования SSMR-SSM/I-SSMIS [17] в МЦД МЛ ААНИИ принята следующая технология расчетов:

- источник данных – архивные (Cavalieri et al., 2008, Meier et al., 2006) и квазиоперативные (Maslanik and Stroeve, 1999) с задержкой 1-2 дня ежедневные матрицы (поля распределения) оценок общей сплошности Северной (севернее 45° с.ш.) и Южной (южнее 50° с.ш.) Полярных областей на основе обработанных по алгоритму NASATEAM

данных многоканальных микроволновых радиометров SSMR-SSM/I-SSMIS ИСЗ NIMBUS-7 и DMSP за период с 26.10.1978 г. по настоящий момент времени [13, 14, 15], копируемые с сервера НЦДСЛ;

- область расчета – Северная и Южная Полярные области и их регионы с использованием масок океан/суша НЦДСЛ (http://nsidc.org/data/polar_stereo/tools_masks.html);
- границы используемых масок расчета отдельных меридиональных секторов, морей, частей морей Северной полярной области и Южного океана представлены на рисунках П1 – П6 в полярной равноплощадной проекции Ламберта [26], не совпадают с используемыми в НЦДСЛ масками для отдельных акваторий Мирового океана и основаны на цифровой основе Международной гидрографической организации [25], повторяющей по номенклатуре, но не совпадающей по границам (вследствие отсутствия цифроосновы) публикациям «Атлас Северного ледовитого океана (1980)» и «Атлас океанов» [1, 2, 3].
- вычислительные особенности расчета – авторское программное обеспечение ААНИИ с сохранением точности расчетов и оценке статистических параметров по гистограмме распределения и свободно-распространяемое программное обеспечение GDAL для векторизации полей климатических параметров;

В графическом формате PNG совмещенные карты ААНИИ-КЛС-НЛЦ Ледовой службы отделения Аляска NOAA доступны по адресу <http://wdc.aari.ru/datasets/d0040>.

Результаты расчетов ледовитости Северной, Южной полярных областей, их отдельных меридиональных секторов, морей и частей морей доступны на сервере МЦД МЛ ААНИИ в каталогах соответственно <http://wdc.aari.ru/datasets/ssmi/data/north/extent/> и <http://wdc.aari.ru/datasets/ssmi/data/south/extent/>.

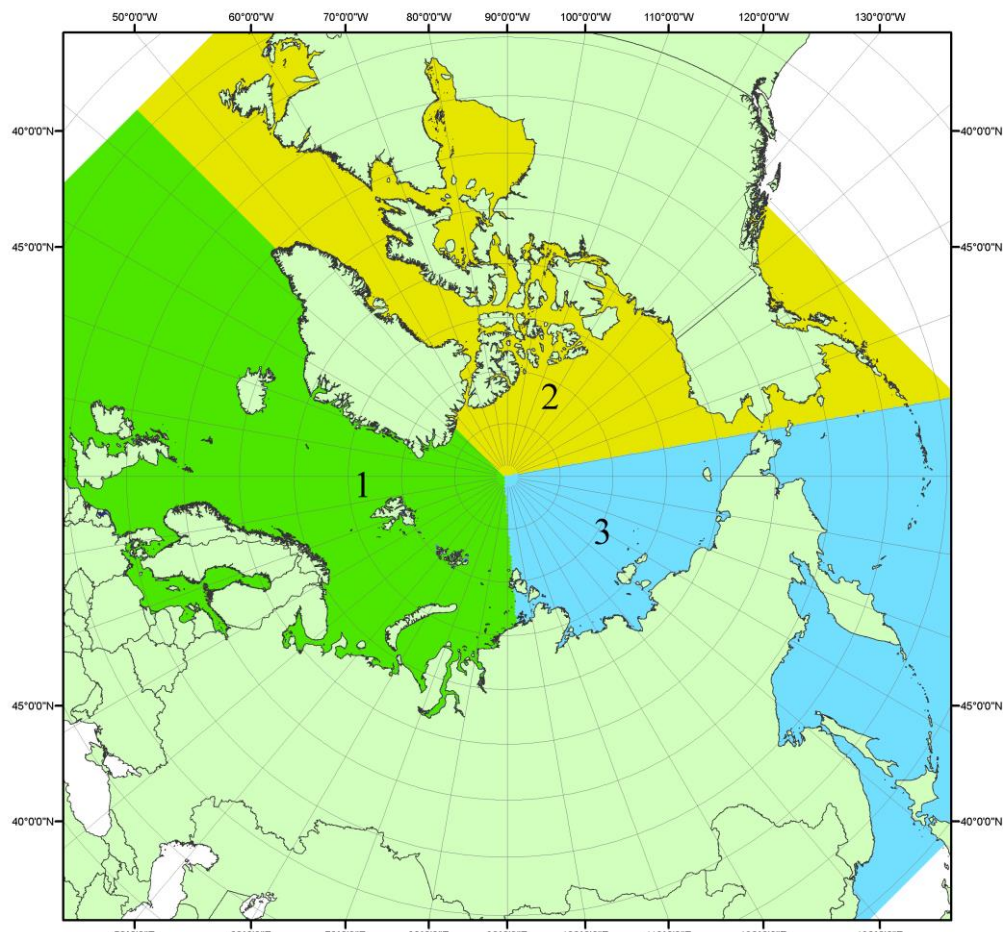


Рисунок П1 – Секторальное деление северной полярной области. 1 - Сектор 45°W-95°E (Гренландское - Карское моря); 2 - Сектор 170°W-45°W (море Бофорта и Канадская Арктика); 3 - Сектор 95°E-170°W (моря Лаптевых - Чукотское, Берингово, Охотское, Японское)

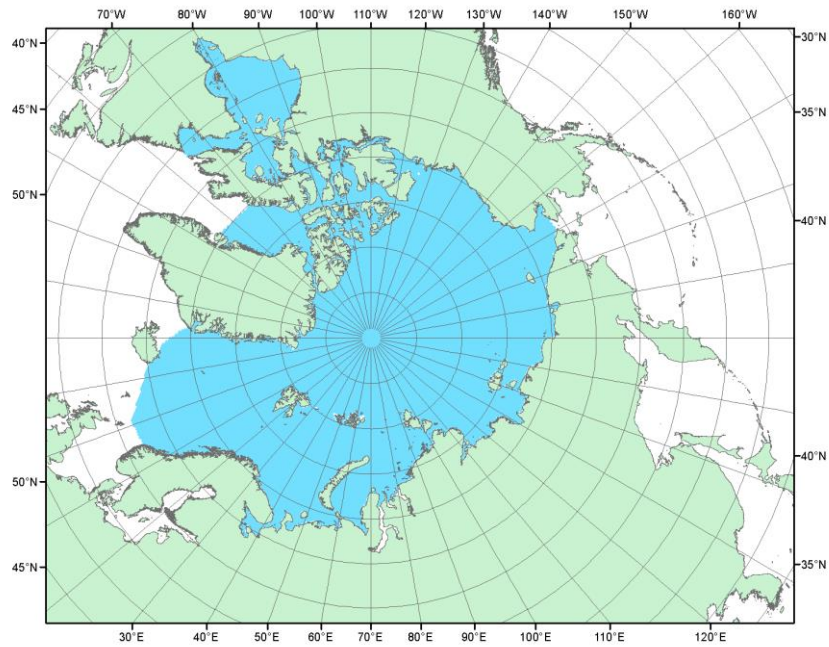


Рисунок П2 – Северный ледовитый океан в официальных границах

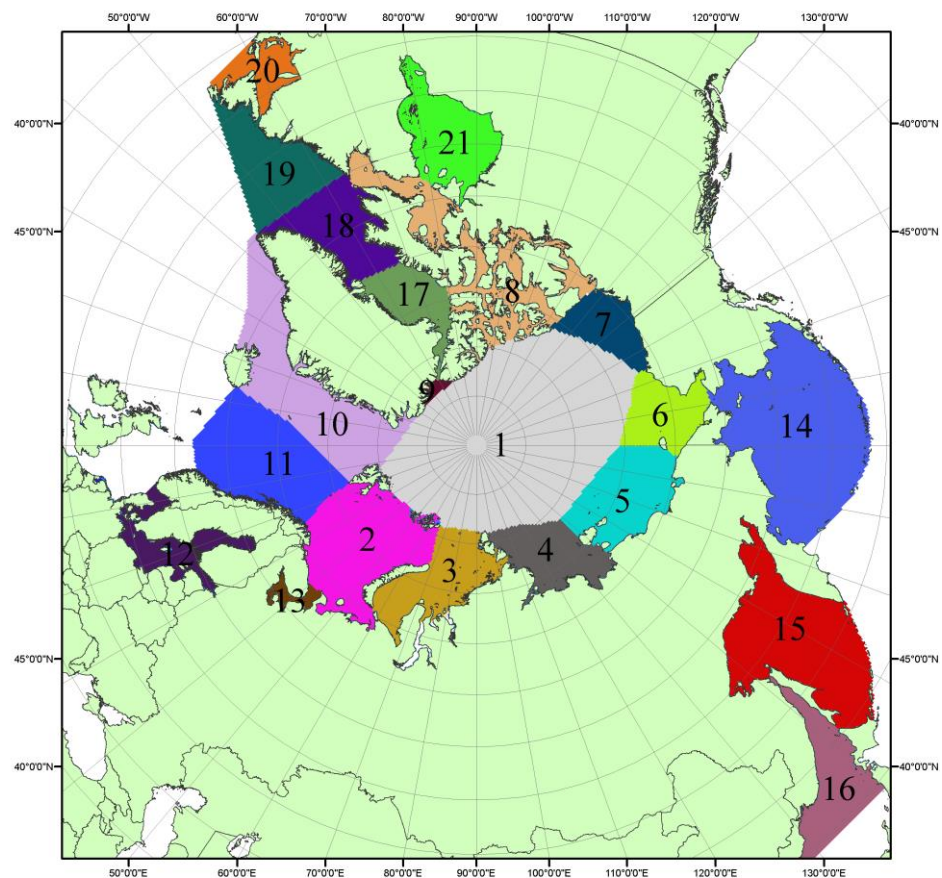


Рисунок П3 – Моря северной полярной области. 1 – Арктический бассейн; 2- Баренцево море; 3 – Карское море; 4 – море Лаптевых; 5 - Восточно-Сибирское море; 6 – Чукотское море; 7 – море Бофорта; 8 – Канадский архипелаг; 9 – море Линкольна; 10 – Гренландское море; 11 – Норвежское море; 12 – Балтийское море; 13 – Белое море; 14 – Берингово море; 15 – Охотское море; 16 – Японское море; 17 – море Баффина; 18 – Дейвисов пролив; 19 – море Лабрадор; 20 – залив Святого Лаврентия; 21 – Гудзонов залив.

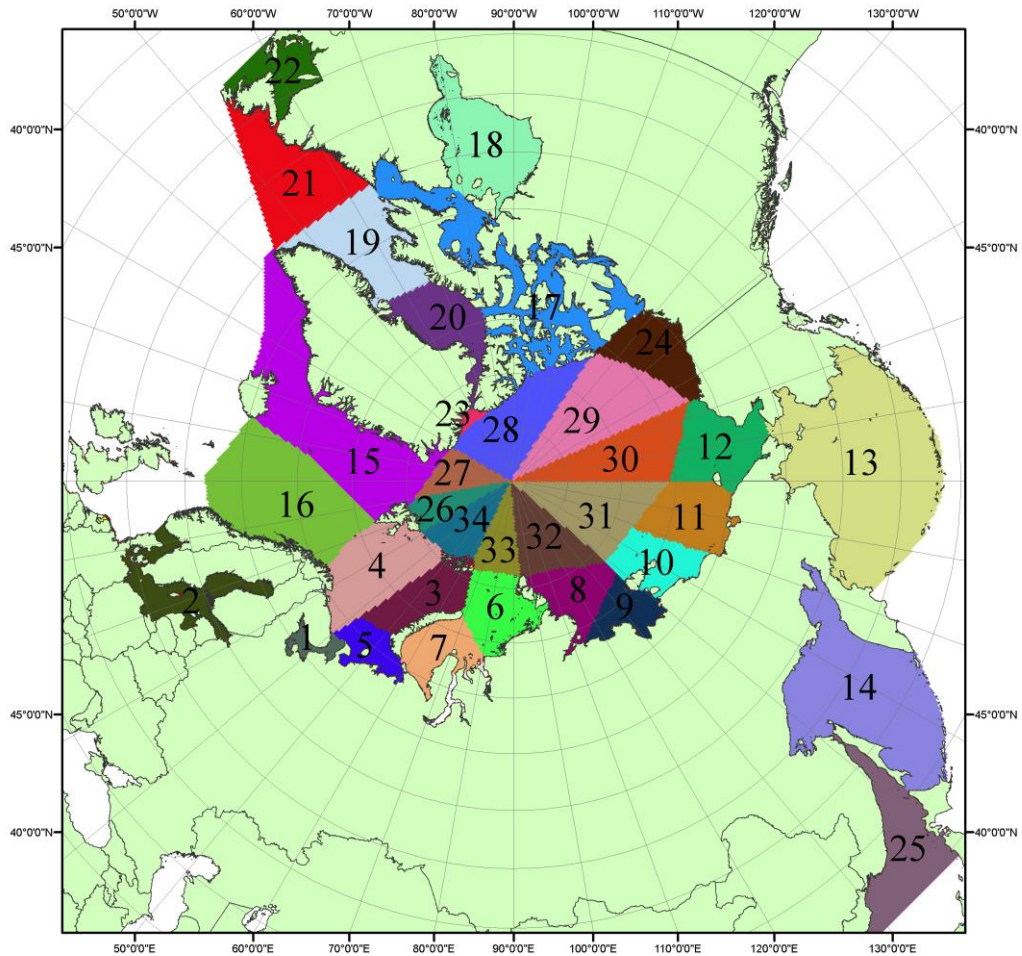


Рисунок П4 – Сектора и моря северной полярной области. 1 - Белое море; 2 - Балтийское море; 3 – Баренцево море (СВ); 4 – Баренцево море (3); 5 - Баренцево море (ЮВ); 6 – Карское море (СВ); 7 – Карское море (ЮЗ); 8 – море Лаптевых (В); 9 – море Лаптевых (3); 10 – Восточно-Сибирское море (3); 11 – Восточно-Сибирское море (В); 12 –Чукотское море; 13 –Берингово море; 14 – Охотское море; 15 –Гренландское море; 16 – Норвежское море; 17 – Канадский архипелаг; 18 – Гудзонов залив; 19 –Дейвисов пролив; 20 - море Баффина; 21 –море Лабрадор; 22 - залив Святого Лаврентия; 23 - море Линкольна; 24 - море Бофорта; 25 - Японское море; 26 - сектор АО (30° з.д. – 10° в.д.); 27 – сектор АО (10° в.д. – 30° в.д.); 28 - сектор АО (30° в.д. – 65° в.д.); 29 - сектор АО (65° в.д. – 96° в.д.); 30 - сектор АО (96° в.д. – 140° в.д.); 31 - сектор АО (140° в.д. – 180° в.д.); 32 - сектор АО (180° в.д. – 156° з.д.); 33 - сектор АО (156° з.д. – 123° з.д.); 34 - сектор АО (123° з.д. – 30° з.д.).

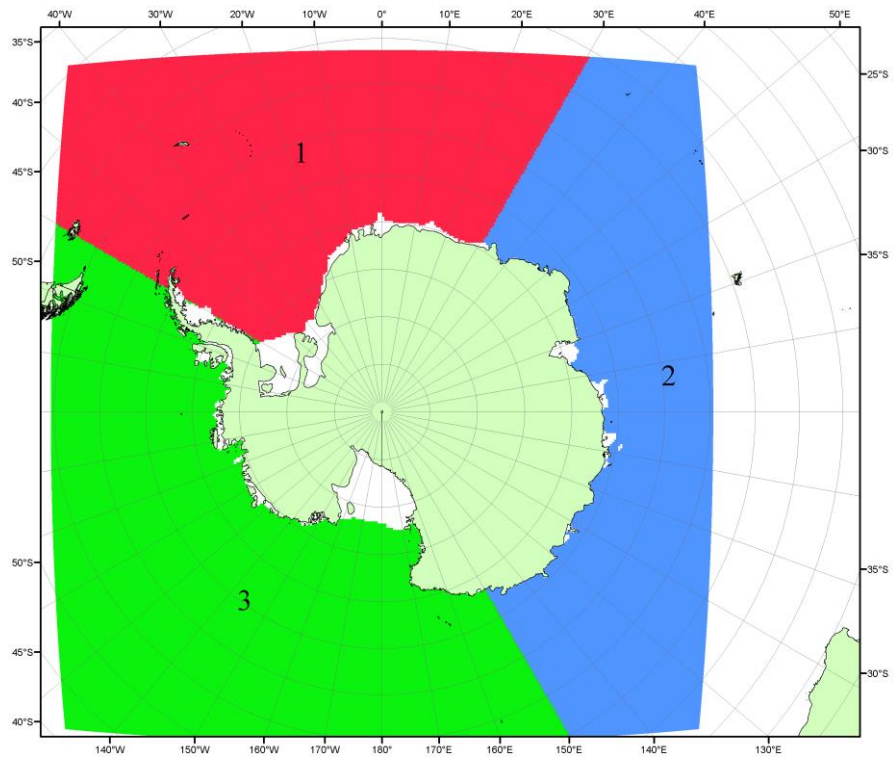


Рисунок П5 – Секторальное деление Южного океана. 1 - Атлантический сектор (60°W - 30°E , море Уэдделла); 2 - Индоокеанский сектор (30°E - 150°E , моря Космонавтов, Содружества, Моусона); 3 - Тихоокеанский сектор (150°E - 60°W , моря Росса, Беллинсгаузена)

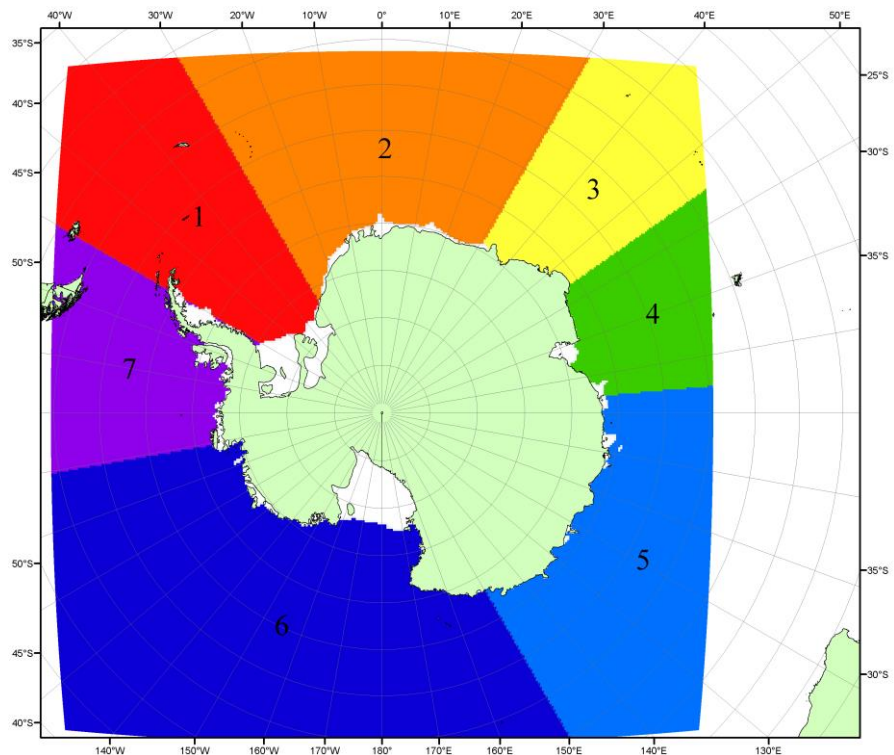


Рисунок П6 – Моря Южного океана. 1 – Западная часть моря Уэдделла; 2- Восточная часть моря Уэдделла; 3 – Море Космонавтов; 4 – море Содружества; 5 – море Моусона; 6 – море Росса; 7 – Море Беллинсгаузена.

Список источников

1. Атлас океанов. Северный Ледовитый океан. – 1980. М: Изд. ГУНИО МО СССР ВМФ – 184 с.
2. Атлас океанов. Термины. Понятия. Справочные таблицы. - Изд. ВМФ МО СССР.-1980.
3. Границы океанов и морей. – 1960. Л.: Изд. ГУНИО ВМФ. – 51 с.
4. Обзорные ледовые карты ФГБУ «ААНИИ» Северного Ледовитого океана за 2008-2018 гг. в обменном формате ВМО СИГРИД-3 // Мировой центр данных по морскому льду - Глобальный банк данных по морскому льду – <http://wdc.aari.ru/datasets/d0015>.
5. Комплексные ледовые карты ФГБУ «ААНИИ» Южного океана за 2014-2018 гг. в обменном формате ВМО СИГРИД-3 // Мировой центр данных по морскому льду - Глобальный банк данных по морскому льду – <http://wdc.aari.ru/datasets/d0015>.
6. Комплексные ледовые карты ФГБУ «ААНИИ» арктических и замерзающих морей России за 1997-2018 гг. в обменном формате ВМО СИГРИД-3 // Мировой центр данных по морскому льду - Глобальный банк данных по морскому льду – <http://wdc.aari.ru/datasets/d0004>.
7. Карты ФГБУ «ААНИИ» анализа крупных айсбергов Южного океана за 2014-2018 гг. в обменном формате ВМО СИГРИД-3 // Мировой центр данных по морскому льду - Глобальный банк данных по морскому льду – <http://wdc.aari.ru/datasets/d0015>.
8. Комплексные ледовые карты ФГБУ «Гидрометцентр России» Азовского, Каспийского и Белого морей за 2000-2017 гг. в обменном формате ВМО СИГРИД-3 // Мировой центр данных по морскому льду - Глобальный банк данных по морскому льду – <http://wdc.aari.ru/datasets/d0033>.
9. Комплексные ледовые карты ФГБУ «НИЦ Планета» Азовского, Каспийского, Берингова, Охотского и Японского морей за 2016-2018 гг. в обменном формате ВМО СИГРИД-3 // Мировой центр данных по морскому льду - Глобальный банк данных по морскому льду – <http://wdc.aari.ru/datasets/d0034>.
10. Комплексные ледовые карты Северной полярной области и Южного океана Национального ледового центра США за 2003-2018 гг. в обменном формате ВМО СИГРИД-3 // Мировой центр данных по морскому льду - Глобальный банк данных по морскому льду – <http://wdc.aari.ru/datasets/d0032>.
11. Карты анализа крупных айсбергов Южного океана Национального ледового центра США за 2014-2018 гг. в обменном формате ВМО СИГРИД-3 // Мировой центр данных по морскому льду - Глобальный банк данных по морскому льду – <http://wdc.aari.ru/datasets/d0032>.
12. Комплексные ледовые карты Канадской Арктики Канадской ледовой службы за 2006-2018 гг. в обменном формате ВМО СИГРИД-3 // Мировой центр данных по морскому льду - Глобальный банк данных по морскому льду – <http://wdc.aari.ru/datasets/d0031>.
13. Cavalieri, D., C. Parkinson, P. Gloersen, and H. J. Zwally. 1996, updated 2008. *Sea Ice Concentrations from Nimbus-7 SMMR and DMSP SSM/I Passive Microwave Data*, [1978.10.26 – 2007.12.31]. Boulder, Colorado USA: National Snow and Ice Data Center. Digital media.
14. Meier, W., F. Fetterer, K. Knowles, M. Savoie, M. J. Brodzik. 2006, updated quarterly. *Sea Ice Concentrations from Nimbus-7 SMMR and DMSP SSM/I Passive Microwave Data*, [2008.01.01 – 2008.03.25]. Boulder, Colorado USA: National Snow and Ice Data Center. Digital media.
15. Maslanik, J., and J. Stroeve. 1999, updated daily. *Near-Real-Time DMSP SSM/I-SSMIS Daily Polar Gridded Sea Ice Concentrations*, [2008.03.26 – present moment]. Boulder, Colorado USA: National Snow and Ice Data Center. Digital media.
16. Andersen, S., R. Tonboe, L. Kaleschke, G. Heygster, and L. T. Pedersen, Intercomparison of passive microwave sea ice concentration retrievals over the high-concentration Arctic sea ice.// *J. Geophys. Res.* – 2007. – Vol. 112. C08004, doi:10.1029/2006JC003543.
17. Статистические характеристики сплошности морского льда Северной полярной области и Южного океана на основе данных наблюдений SSMR-SSM/I-SSMIS, алгоритм NASATEAM // Мировой центр данных по морскому льду - Глобальный банк данных по морскому льду – <http://wdc.aari.ru/datasets/ssmi>.
18. SIGRID-3: A vector archive format for Sea Ice Georeferenced Information and Data - JCOMM Technical Report Series No. 23, 2014, WMO/TD-No.1214.

19. Ice Chart Colour Code Standard. - JCOMM Technical Report Series No. 24, 2004, WMO/TD-No.1215.
(http://jcomm.info/index.php?option=com_oe&task=viewDocumentRecord&docID=4914)
20. Danish Meteorological Institute North Atlantic - Arctic Ocean model HYCOM-CICE -
<http://ocean.dmi.dk/models/hycom.uk.php>
21. Портал данных ледового анализа Южного океана Норвежского метеорологического института - <http://polarview.met.no/Antarctic.html>
22. Портал полярных данных Датского метеорологического института - <http://polarportal.dk>
23. Комплексные ледовые карты Берингова и чукотского морей Ледовой службы отделения NOAA Аляска в обменном формате ВМО СИГРИД-3 // <https://www.weather.gov/>.
24. AWI CryoSat-SMOS Merged Sea Ice Thickness -
<https://spaces.awi.de/display/CS2SMOS/CryoSat-SMOS+Merged+Sea+Ice+Thickness>
25. Flanders Marine Institute (2018). IHO Sea Areas, version 3. Available online at URL:
<http://www.marineregions.org/> (дата обращения 08.04.2023).
26. Полярная равноплощадная проекция Ламберта. URL: <https://epsg.io/3576> (дата обращения 07.04.2023).